

MINERAIS DO PARANÁ S/A  
BIBLIOTECA

M I N E R O P A R  
MINERAIS DO PARANÁ S/A

SETOR DE APOIO TÉCNICO OPERACIONAL

S A T O

PROSPECÇÃO GEOQUÍMICA DE SEMIDETALHE  
NA REGIÃO DA BARRA DO ITAPIRAPUÃ-PR

MAURÍCIO MOACYR RAMOS  
DEZ/81

84  
(816.2-)  
2/1981

## R E S U M O

O Setor de Apoio Técnico Operacional - SATO, executou um levantamento geoquímico à nível de semidetalhe num conjunto de seis áreas requeridas pela MINEROPAR ao DNPM, localizadas na região denominada Barra do Itapirapuã, divisa entre os Estados do Paraná e São Paulo.

A área litologicamente é caracterizada por rochas alcalino carbonatíticas englobadas por rochas graníticas pertencentes ao Complexo Granítico Três Córregos e metassedimentos do Grupo Açungui.

Nessa campanha foram coletadas 103 amostras de sedimento de corrente e 11 amostras de concentrados de bateia. As primeiras foram peneiradas, separadas as funções malha menor do que 40/maior do que 80 (-40/+80 mesh) e dosadas para Cu,Pb, Zn,Ni,Co,Fe e Mn por absorção atômica após abertura por água régia 3:1, a quente; As após geração de vapor; Ba,Sr,Nb,La,Mo e Ti por espectrografia ótica; F por eletrodo de íon específico e  $P_2O_5$  por fluorescência de raios-X. Os concentrados de bateia foram analisados para Cu,Pb,Zn e Au por absorção atômica após abertura por água régia 3:1, a quente.

Treze zonas anômalas (sedimentos de corrente) foram delineados, entre as quais, duas zonas indicam diretamente corpos carbonatíticos e uma zona sugere a presença de um desses corpos, ainda não mapeados.

Entre as cinco zonas mais importantes, duas podem indicar concentrações de sulfetos de Cu,Pb,Zn e ouro associados aos metassedimentos, seja por suas características geoquímicas e/ou pela proximidade à ocorrências conhecidas.

## ÍNDICE

### **RESUMO**

<b>I</b>	<b>INTRODUÇÃO</b>	01
<b>II - METODOLOGIA</b>		01
2.1.	Técnicas de Amostragem	02
2.2.	Técnicas Analíticas	02
2.3.	Técnicas de Interpretação	03
2.4.	Apresentação dos Resultados	05
<b>III - RESULTADOS OBTIDOS</b>		05
3.1.	Controle de Qualidade	05
3.1.1.	Amostras Duplicatas e Replicatas	06
3.1.2.	Amostras Padrão	07
3.2.	Definição, Descrição e Avaliação Preliminar das Zonas Anômalas	07
3.2.1.	Grupo I	08
3.2.2.	Grupo II	13
<b>IV - CONCLUSÕES E RECOMENDAÇÕES</b>		14
<b>V - REFERÊNCIAS BIBLIOGRÁFICAS</b>		16
<b>ÍNDICE DAS TABELAS</b>		i
<b>ÍNDICE DAS FIGURAS</b>		i
<b>ANEXOS</b>		

### ÍNDICE DAS TABELAS

1. TABELA 3.1. - Resultados analíticos entre os pares das amostras original-duplicata (A) e (B) e original-replicata (C) e (D).....
2. TABELA 3.2. - Resultados analíticos das amostras- padrão .....

### ÍNDICE DAS FIGURAS

3. FIG.(s) 3.1.  
a 3.15 - Distribuições lognormais de Cu, Pb, Zn, Ni, Co, Fe, Mn, As, Ba, Sr, Nb, Ti, F e P<sub>2</sub>O<sub>5</sub> na população (A).

## I - INTRODUÇÃO

Uma campanha geoquímica em escala se semidetalhe, com a coleta de 103 amostras de sedimento de corrente e 11 amostras de concentrados de bateia, foi executada em um conjunto de seis áreas requeridas pela MINEROPAR na região da Barra do Rio Itapirapuã.

A área total possue uma extensão de 55,0 km<sup>2</sup> aproximadamente e está situada na divisa entre os Estados do Paraná e São Paulo.

As rochas do Complexo Granítico Três Córregos representam a maior parte da área em estudo. São representadas por hornblenda biotita quartzo monzonitos, biotita hornblenda quartzo monzodioritos e quartzo sienitos que sofreram fraturamentos com direção, predominantemente, N40-50E e N50W (da Silva, 1980).

Na região central e sudoeste da área, restos de teto são preservados em calhas tectônicas. Esses relíctos metassedimentares pertencentes ao Grupo Açuengui são representadas por rochas calcossilicatadas, sericita xistos e anfibolitos, que no extremo leste da área, estão em contato por falha com o Granito Três Córregos (da Silva, 1980).

Dois corpos alcalino carbonatíticos completam a variedade litológica da área. O menor deles é constituído por rochas brechadas silico-feldspáticas interdigitadas por carbonatitos, enquanto o outro corpo, o maior, é constituído por sovitos com estruturas fluidais silicosas, porções enriquecidas em ferro (carbonatito ferrífero) e, ainda, com concentrações locais de galena e pirita. Ambos são envoltos por uma auréola de rochas silico-feldspáticas com estruturas brechóides, possivelmente originadas por processos de fenitização das encaixantes graníticas (da Silva, 1980).

## II - METODOLOGIA

Os estudos orientativos realizados na área de exposição de rochas alcalino-carbonatíticas da região de Mato Preto (Ramos, 1981), orientam a adoção das seguintes técnicas de trabalho:

## **2.1. Técnicas de Amostragem**

- a.** Amostragem de sedimentos ativos de corrente, preferencialmente o cascalho, pelo processo manual e acondicionamento em sacos de pano. Densidade de amostragem da ordem de 2 amostras/km<sup>2</sup>.
- b.** Amostragem de concentrados de bateia no volume inicial de 15 litros e concentração com o emprego de bateia de madeira. As amostras concentradas são acondicionadas em sacos plásticos. Densidade de 1 amostra/10 km<sup>2</sup>.
- c.** Registro das informações fisiográficas locais e das características do ambiente secundário (pH, velocidade da corrente, matéria orgânica, etc) em fichas geoquímicas de campo.
- d.** Marcação das estações de amostragem em pontos visíveis do campo (afloramentos, árvores, etc) com o emprego de fita plástica e tinta vermelha do tipo aerosol.

## **2.2. Técnicas Analíticas**

- a.** Secagem das amostras de sedimento de corrente, em estufa, na temperatura de 80°C e separação por simples peneiramento da fração malha menor do que 40 maior do que 80 (-40/+80 mesh).
- b.** Secagem das amostras de concentrados de bateia, em estufa, na temperatura de 80°C e redução, por moagem em porcelana, da fração total (magnética + não magnética) ao tamanho da malha menor do que 200 (-200 mesh).
- c.** Dosagem das amostras coletadas obedecendo o seguinte esquema:-

### c.1. Laboratório do Tecpar

- Sedimentos de corrente Cu,Pb,Zn,Ni,Co, Fe e Mn por absorção atômica, após abertura com águia régia, com águia régia 3:1 (HCL : HNO<sub>3</sub>), a quente.
- Concentrados de bateia Cu,Pb,Zn e Au por absorção atômica com águia régia 3:1(HCL : HNO<sub>3</sub>), a quente.

### c.2. Laboratório da Geosol

- Sedimentos de corrente Ba,Nb,Ti,La,Mo e Sr por espectrografia de emissão ótica : As por geração de vapor, P<sub>2</sub>O<sub>5</sub> por fluorescência de raios-X e F por eletrodo de íon específico.

## 2.3. Técnicas de Interpretação

A interpretação dos dados geoquímicos foi obtida obedecendo-se as seguintes etapas:-

- a. Listagem dos resultados analíticos de Cu,Pb,Zn , Ni, Co, Fe, Mn ,Ba,Nb, Ti, La, Mo, Sr, As,F e P<sub>2</sub>O<sub>5</sub> das amostras de sedimento de corrente e Cu, Pb, Zn e Au das amostras de concentrados de bateia.
- b. Classificação dos dados provenientes dos sedimentos de corrente em três populações, a seguir:-  
**POPULAÇÃO "A"** - constituída das amostras localizadas na área de influência das rochas graníticas do Complexo Granítico Três Córregos.  
**POPULAÇÃO "B"** - constituída das amostras situadas sobre rochas metassedimentares do Grupo Açuí.  
**POPULAÇÃO "C"** - constituída por amostras localizadas sobre rochas alcalino carbonatíticas.

- c. Elaboração dos histogramas elementos/população;
- d. Determinação dos limiares dos elementos da população "A" com o auxílio dos gráficos de probabilidade (Sinclair, 1976).
- e. Determinação dos teores anômalos:
  - e.1. Nos casos de distribuições unimodais, quando os valores absolutos forem maiores que o limiar - definido pela média (b) acrescida de duas vezes o desvio padrão ( $S_c$ ) - obtido graficamente.
  - e.2. Nos casos de distribuições polimodais quando os teores pertencerem à população de concentrações mais elevadas (população anômala).
- f. Determinação dos limiares dos elementos das populações "B" e "C" a partir dos teores definidos pelo percentil 97,5, em função do reduzido número de dados (população "B" com 8 amostras e população "C", com 2 amostras).
- g. Definição das zonas anômalas de sedimentos de corrente a partir do registro dos teores anômalos dos elementos em mapas, agrupados segundo critérios geográficos, geológicos e geoquímicos.
- h. Determinação dos limiares para os dados obtidos dos concentrados de bateia segundo o procedimento mencionado no ítem (e) e a definição das anomalias de acordo com os critérios do ítem (g).
- i. Controle de qualidade dos resultados obtidos pelo emprego das amostras duplicatas, replicatas e padrão a partir da análise direta dos dados disponíveis em tabelas do reduzido número de amostras de controle.

O potencial das zonas anômalas é definido a par-

tir de prioridades que lhes são atribuídas (prioridade A, B, e C).

Essa abordagem é feita levando-se em consideração as informações geoquímicas e geológicas, além das características do ambiente secundário, quando disponíveis.

#### **2.4. Apresentação dos Resultados**

Os resultados obtidos são apresentados em mapas na escala 1:25.000, acompanhados por um texto analítico descriptivo das zonas anômalas:-

- a. Mapa de Localização das Estações de Amostragem de sedimentos de corrente e concentrados de bateia.
- b. Mapa de Localização das Zonas Anômalas de sedimentos de corrente nos quais as zonas são identificadas por um número seguido de uma letra (A, B ou C) segundo suas prioridades e acompanhados pela associação geoquímica principal. Nesse mapa são ainda identificadas as amostras anômalas pelos seus respectivos números.
- c. Mapa de Localização de Zonas Anômalas de concentrados de bateia com os mesmos critérios de identificação das zonas do ítem (b).

Completando as informações gráficas são inseridas no texto tabelas e gráficos das amostras-controle e gráficos de probabilidade.

### **III - RESULTADOS OBTIDOS**

#### **3.1. Controle de Qualidade**

A qualidade ou precisão dos trabalhos de amostragem, dos serviços analíticos e da performance do laboratório ao longo período no qual esteve atuando, é investigada por intermédio

das amostras controle (AMOSTRA REPLICATA, AMOSTRA DUPLICATA e AMOSTRA PADRÃO, respectivamente):

- a. AMOSTRA REPLICATA - É o resultado da coleta de uma segunda amostra concomitantemente à amostragem original e serve para medir as variâncias de amostragem e analítica.
- b. AMOSTRA DUPLICATA - É obtida pela bipartição da amostra original. Esse processo é feito no campo acompanhado de cuidados especiais com a homogeneização das amostras resultantes. Mede a variância analítica.
- c. AMOSTRA-PADRÃO - Uma grande quantidade (100 a 200 kg) de material (sedimento ativo de corrente) coletado um mesmo sítio de amostragem é homogeneizado e posteriormente quarteado em diversos sub-padrões. Estes medem a performance do laboratório. (Reprodutividade de resultados no tempo).

O reduzido número de amostras coletadas nesse trabalho (103 amostras) originaram somente três pares de amostras original-duplicata e três amostras-padrão. Isto se deve ao fato de que no SATO já existem, previamente estabelecidos, os números de identificação para as amostras controle e cada uma delas é planejada para compor lotes de 40 amostras.

Dessa forma, quaisquer considerações estatísticas tornam-se inadequadas, restando apenas para efeito de avaliação, análises visuais com o auxílio de tabelas.

### 3.1.1. Amostras Duplicatas e Replicatas

De um modo geral as variâncias analíticas e de amostragem são inexpressivas, visto que a grande maioria dos valores entre os pares de amostras original-duplicata/replicata revelam discrepâncias que dificilmente ultrapassam a faixa de precisão aceitável 10-20% e, quando o fazem, acontece somente em algumas amostras e para alguns elementos.

AMOSTRA		Cu		Pb		Zn		Ni		Co		Fe		Mn		As	
0	D	0	D	0	D	0	D	0	D	0	D	0	D	0	D	0	D
JS 450	JS 451	3	5	8	8	23	20	8	8	10	7	16	12	230	190	3	3
JS 490	JS 491	6	6	9	10	20	20	22	21	17	16	46	36	100	85	0,5	<0,5
JS 530	JS 531	10	12	9	10	40	40	16	18	20	21	20	20	360	400	<0,5	<0,5

A

AMOSTRA		Ba		Nb		Ti		La		Mo		Sr		F		$P_2O_5$	
0	D	0	D	0	D	0	D	0	D	0	D	0	D	0	D	0	D
JS 450	JS 451	1120	1105	86	80	6900	7750	68	67	<5	<5	292	294	375	450	0,09	0,07
JS 490	JS 491	1440	1540	30	25	5800	6000	72	84	<5	<5	510	500	475	500	0,11	0,12
JS 530	JS 531	1960	1530	30	20	7200	6200	86	70	<5	<5	700	660	550	650	0,19	0,20

B

AMOSTRA		Cu		Pb		Zn		Ni		Co		Fe		Mn		As	
0	R	0	R	0	R	0	R	0	R	0	R	0	R	0	R	0	R
JS 450	JS 451	4	4	8	7	34	30	22	21	10	16	27	31	310	320	<0,5	<0,5
JS 490	JS 491	2	3	12	11	30	28	21	18	26	23	83	74	110	115	<0,5	<0,5
JS 530	JS 531	11	5	10	9	35	40	14	14	12	12	14	14	110	120	0,5	<0,5

C

AMOSTRA		Ba		Nb		Ti		La		Mo		Sr		F		$P_2O_5$	
0	R	0	R	0	R	0	R	0	R	0	R	0	R	0	R	0	R
JS 450	JS 451	1800	2260	28	42	6400	7100	124	98	<5	<5	526	480	500	525	0,10	0,05
JS 490	JS 491	1300	1250	20	<20	5400	4800	34	48	<5	<5	530	540	450	425	0,13	0,13
JS 530	JS 531	1420	1550	<20	<20	4460	5350	39	32	<5	<5	435	515	375	400	0,09	0,09

TAB. 3.1. - Resultados analíticos entre os pares das amostras original-duplicata (A) e (B) e original-replicata (C) e (D).

Ex.: Fe,Ba,Nb (amostras duplicatas) e Cu,Co,Ba,Nb, La e Ti (amostras replicatas, Tabela 3.1.).

### 3.1.2. Amostra-Padrão

As diferenças registradas entre os resultados analíticos dos elementos, investigados não revelam tendências de variações sistemáticas crescentes e/ou decrescentes' (tab. 3.2.).

AMOSTRAS	Cu	Pb	Zn	Ni	Co	Fe	Mn	As	Ba	Nb	Ti	La	Mo	Sr	F	$P_2O_5$
JS-471	9	18	23	10	10	17	700	1	1460	20	7600	74	5	470	275	0,11
JS-511	8	12	10	11	14	20	450	0,5	1960	20	6000	30	5	480	200	0,08
JS-551	10	20	20	12	12	21	340	0,5	1600	20	5700	30	5	480	200	0,10

TAB. 3.2. - Resultados Analíticos das amostras-padrão.

As variações mais importantes são registradas, para Pb, Zn e Mn dosados pelo laboratório do TECPAR e para Ba, Ti e La analisados pelo laboratório da GEOSOL.

Considerando-se o exposto acima concluiu-se que não houve variações significativas no desenvolvimento do processo analítico, e que as diferenças observadas são relacionadas a problemas analíticos localizados, bem como, a própria variância inerente aos métodos analíticos empregados, (5% a 10% para espectrofotometria de absorção atômica e 10% a 20% para espectrografia de emissão ótica).

### 3.2. Definição, Descrição e Avaliação Preliminar das Zonas Anômalas

Treze zonas anômalas foram definidas a partir da manipulação dos resultados analíticos de Cu,Pb,Zn,Ni,As,Fe, Mn,Ba,Ti,La,Mo,Sr,F e  $P_2O_5$  obtidos de 103 amostras de sedimentos de corrente, além de outras duas zonas provenientes de 11 amostras de concentrados de bateia.

Entre os elementos analisados nas 93 amostras'

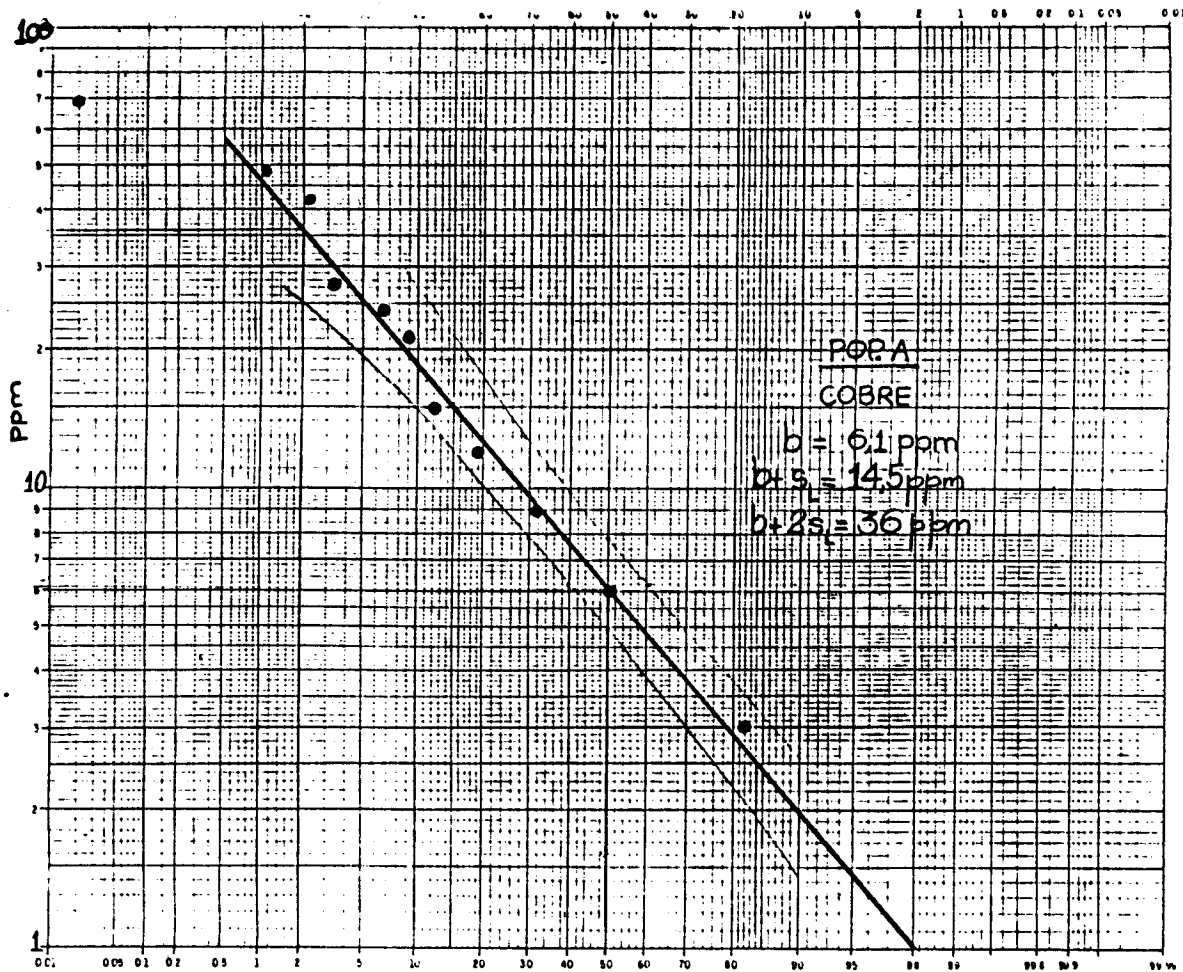


Fig. 3.1. - Distribuição lognormal unimodal de cobre.  
População (A).

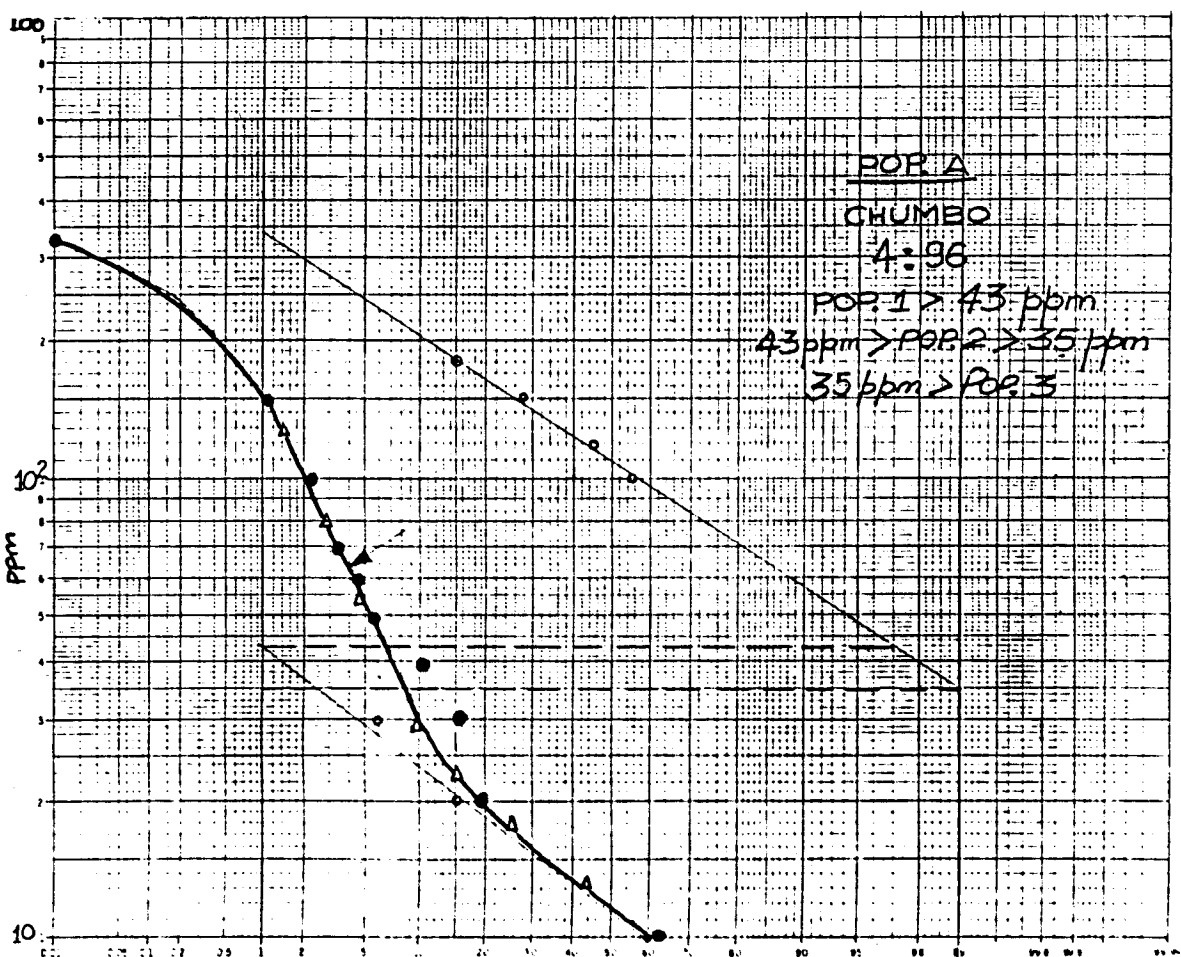


Fig. 3.2. - Distribuição lognormal unimodal de chumbo.  
População (A).

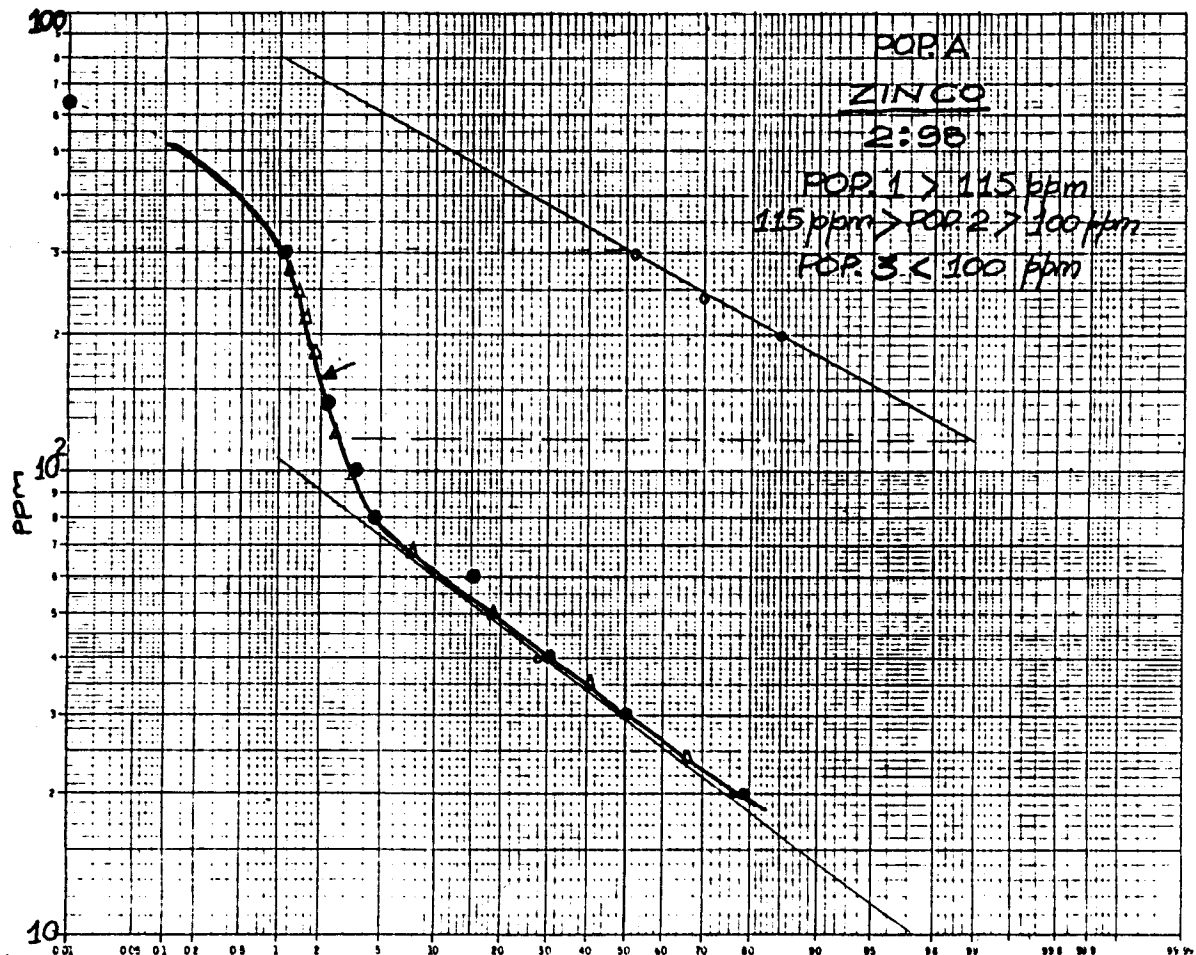


Fig. 3.3. - Distribuição lognormal bimodal de zinco.  
População (A).

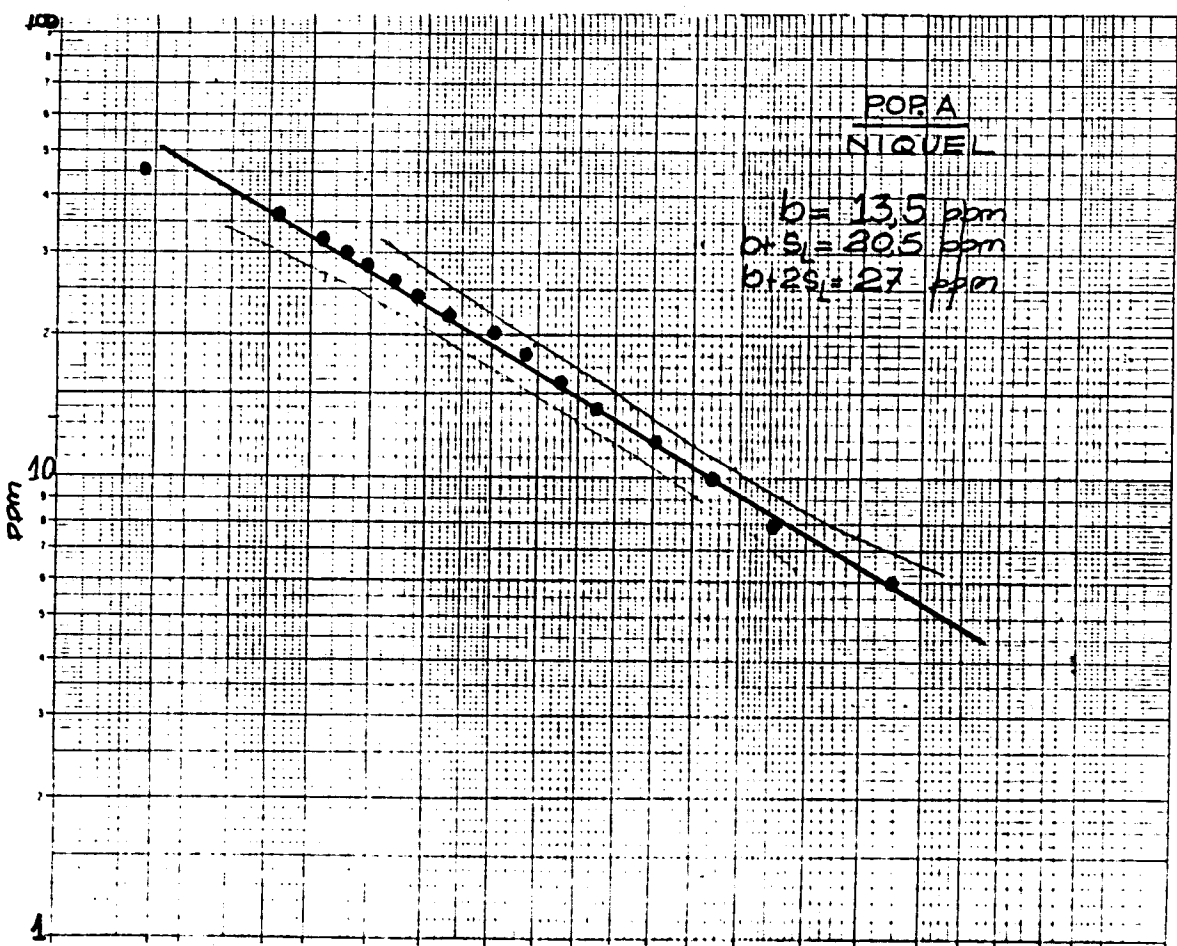


Fig. 3.4. - Distribuição lognormal unimodal de níquel.  
População (A).

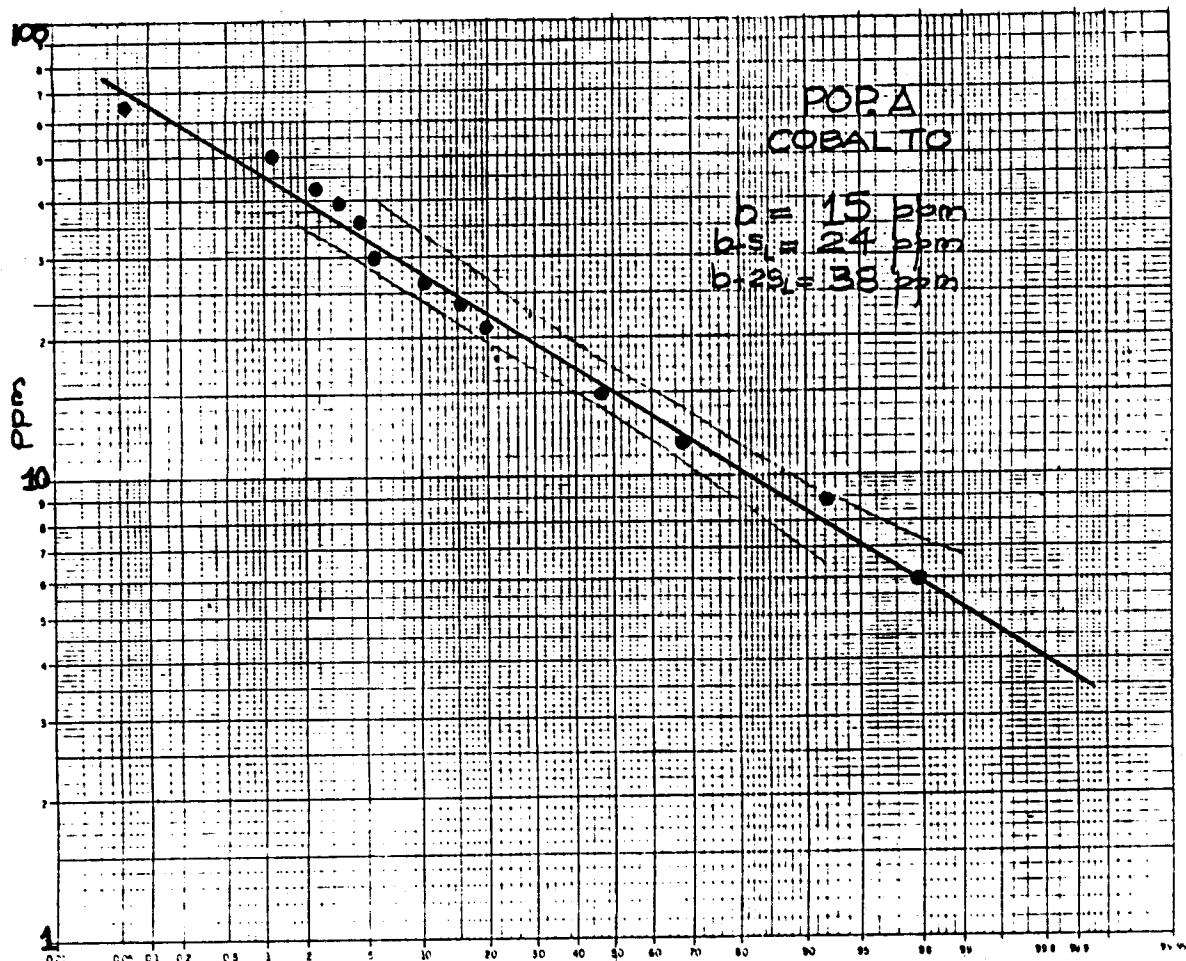


Fig. 3.5. - Distribuição lognormal unimodal de cobalto.  
População (A).

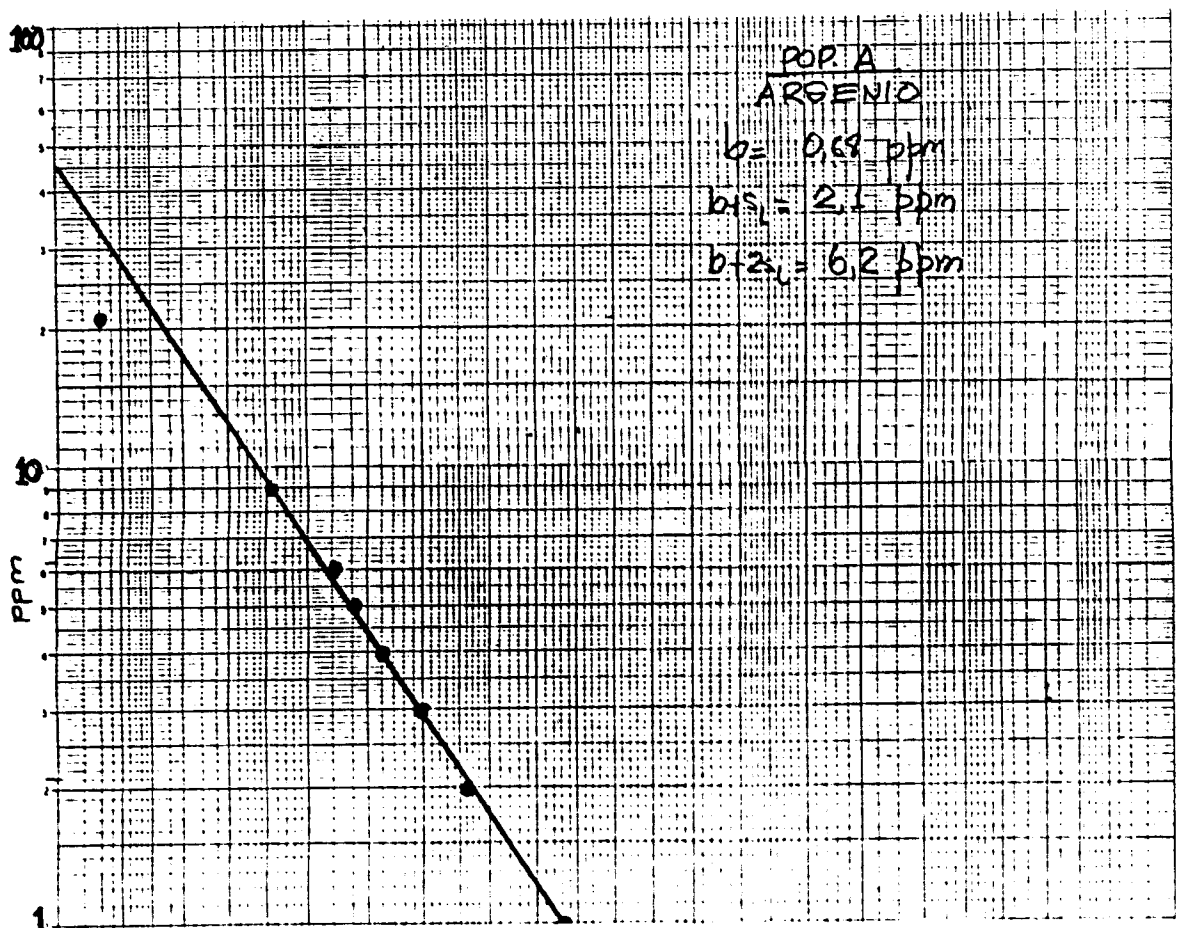


Fig. 3.6. - Distribuição lognormal unimodal de arsênio.  
População (A).

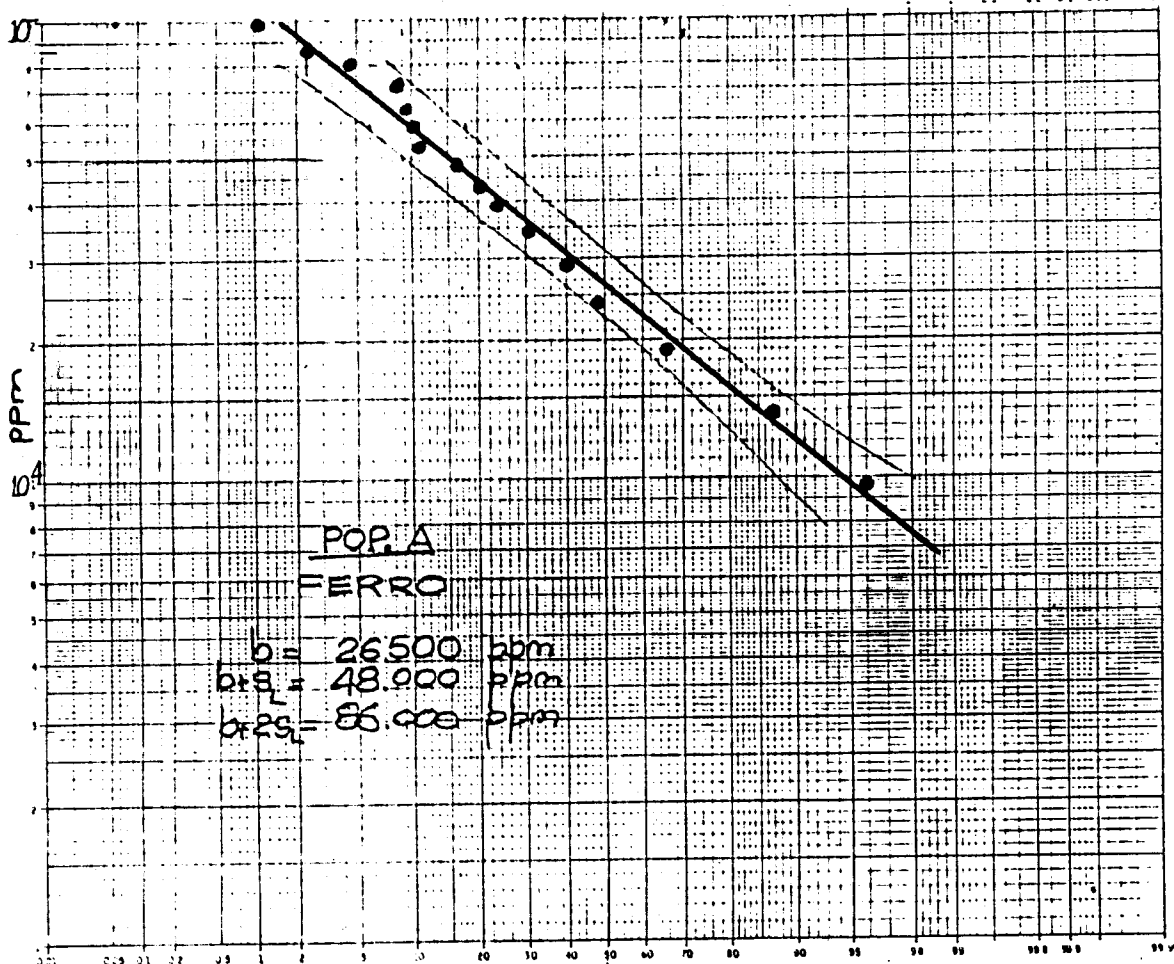


Fig. 3.7. - Distribuição lognormal unimodal de ferro.  
População (A).

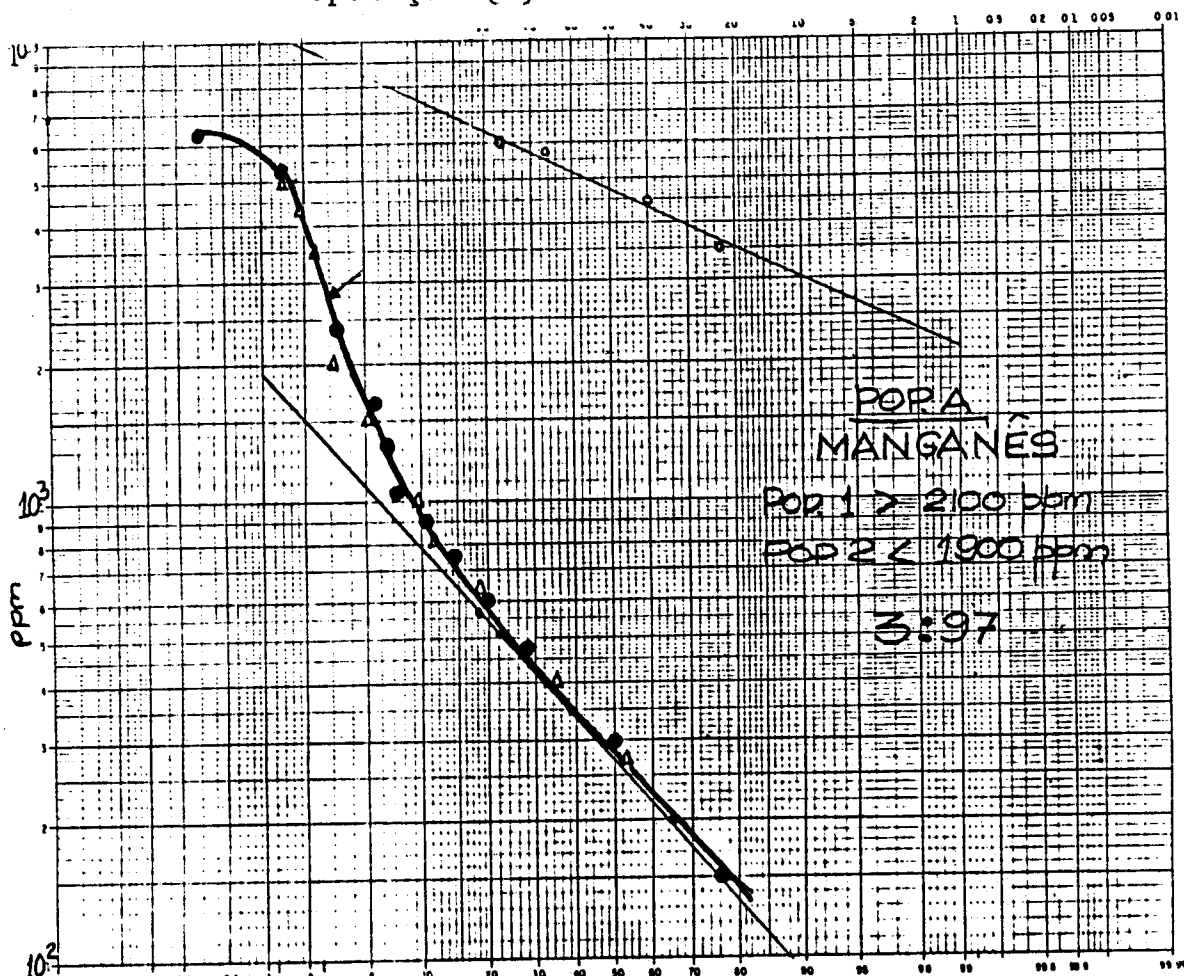


Fig. 3.8. - Distribuição lognormal bimodal de manganês.  
População (A).

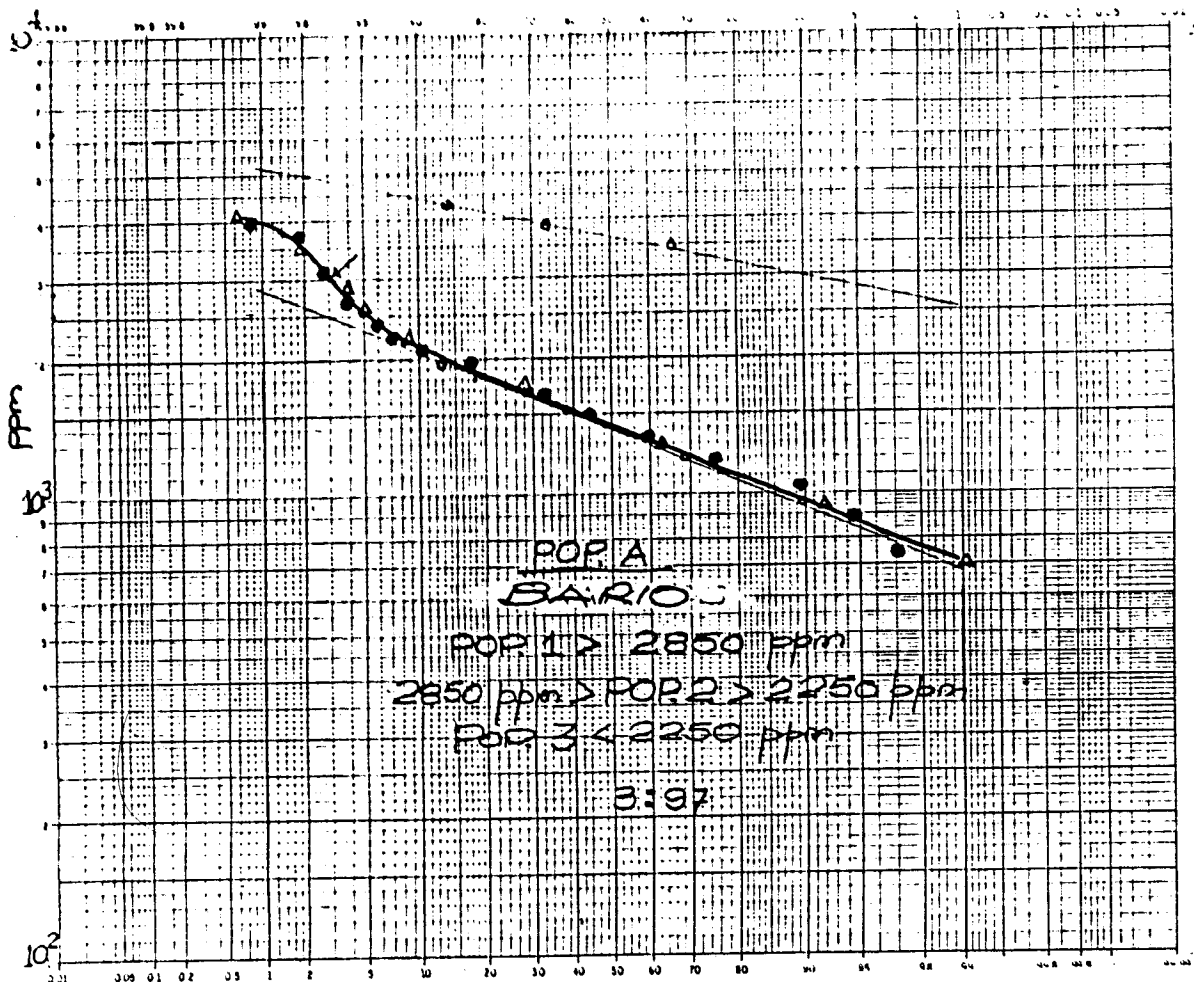


Fig. 3.9. - Distribuição lognormal bimodal de bárho.  
População (A).

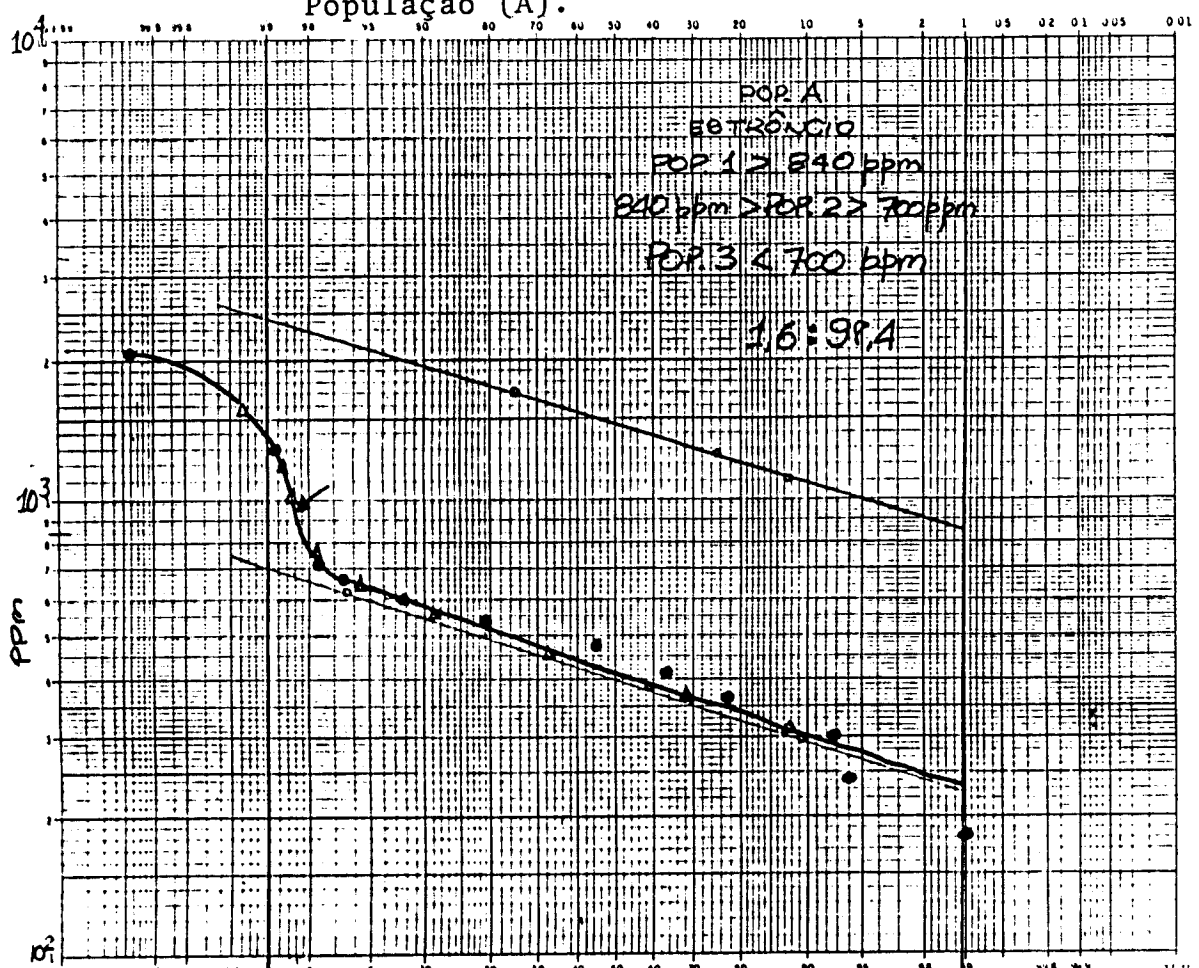


Fig. 3.10 - Distribuição lognormal bimodal de estrôncio.  
População (A).

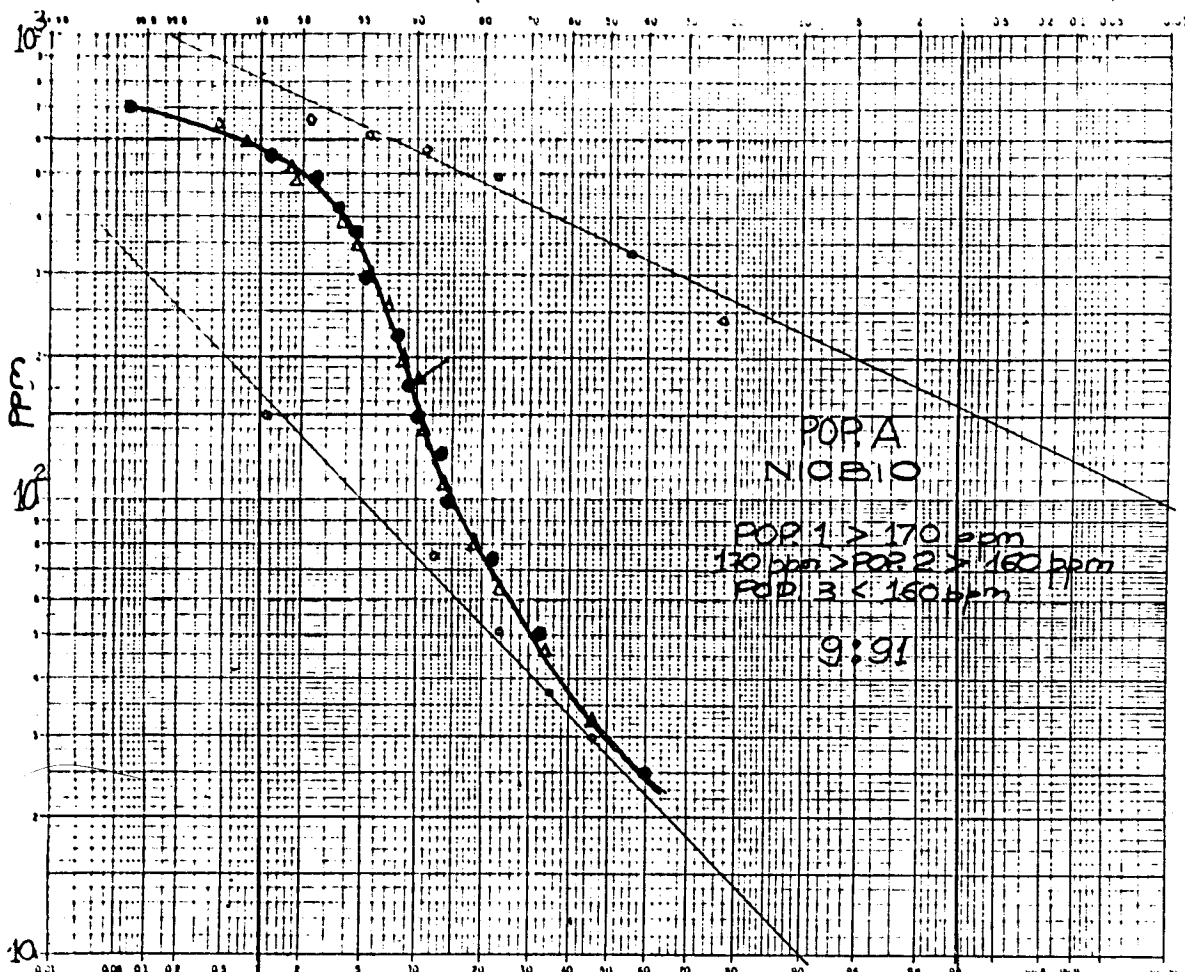


Fig. 3.11 - Distribuição lognormal bimodal de nióbio.  
População (A).

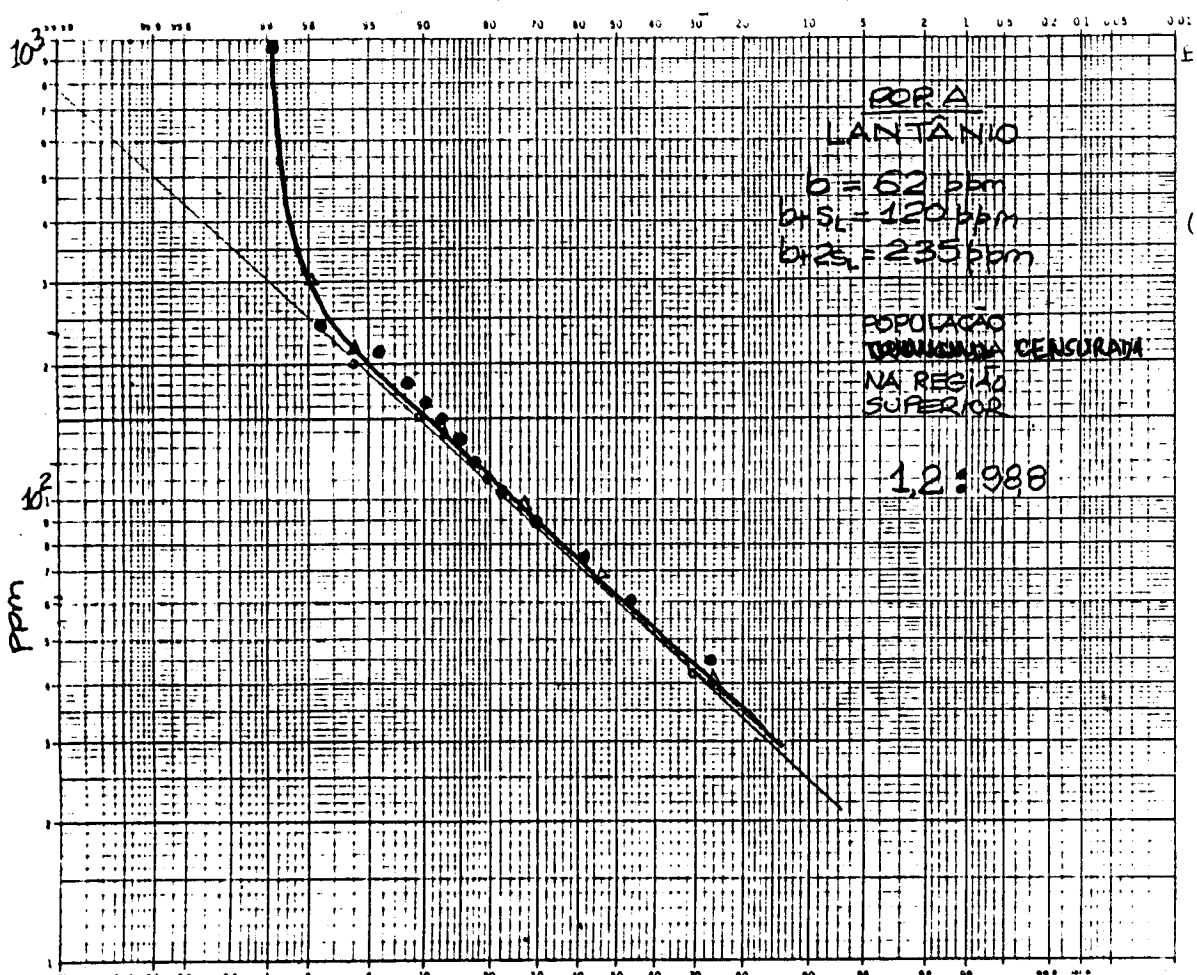


Fig. 3.12 - Distribuição lognormal censurada de  
População (A).

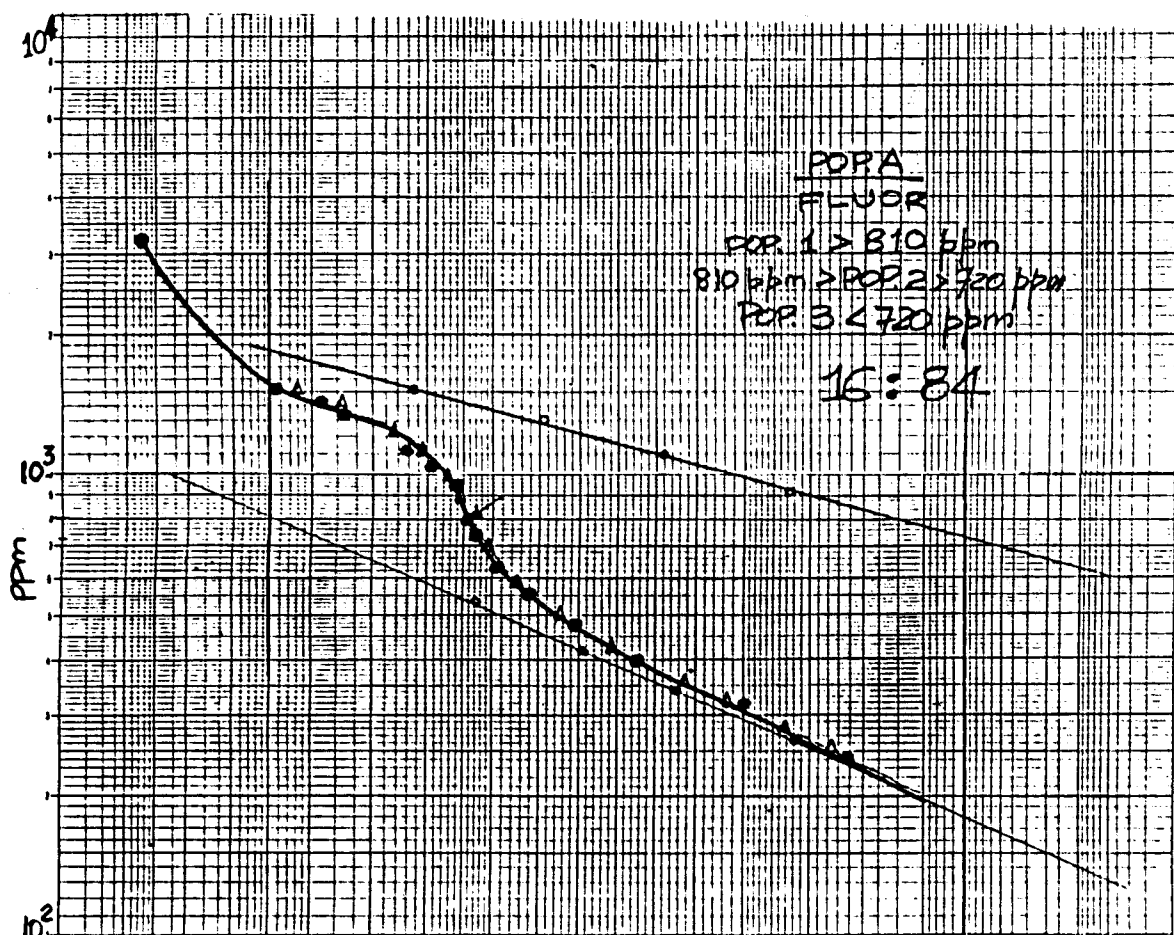


Fig. 3.13 - Distribuição lognormal bimodal de ferro.  
População (A).

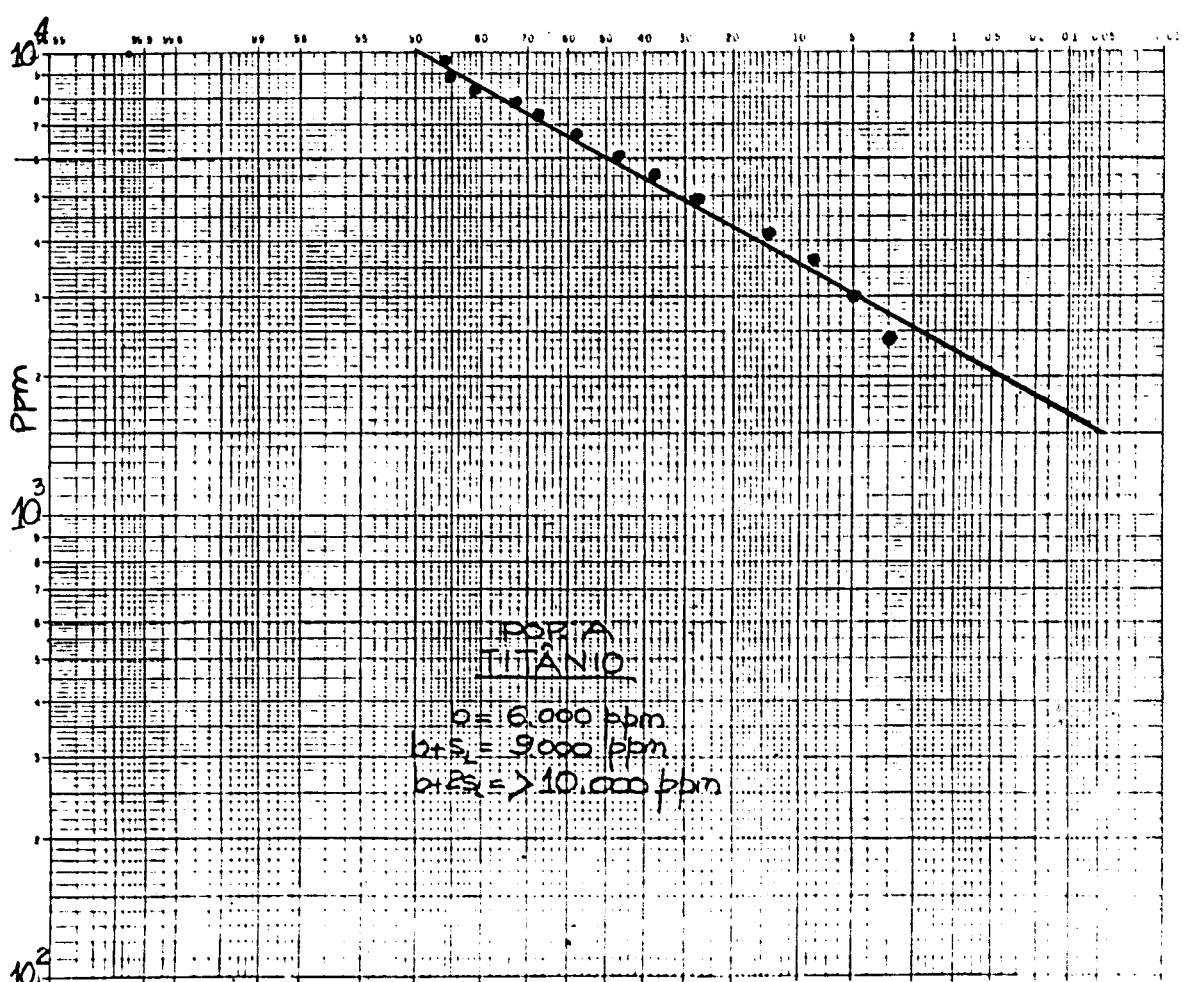


Fig. 3.14 - Distribuição lognormal unimodal de titânio.  
População (A).

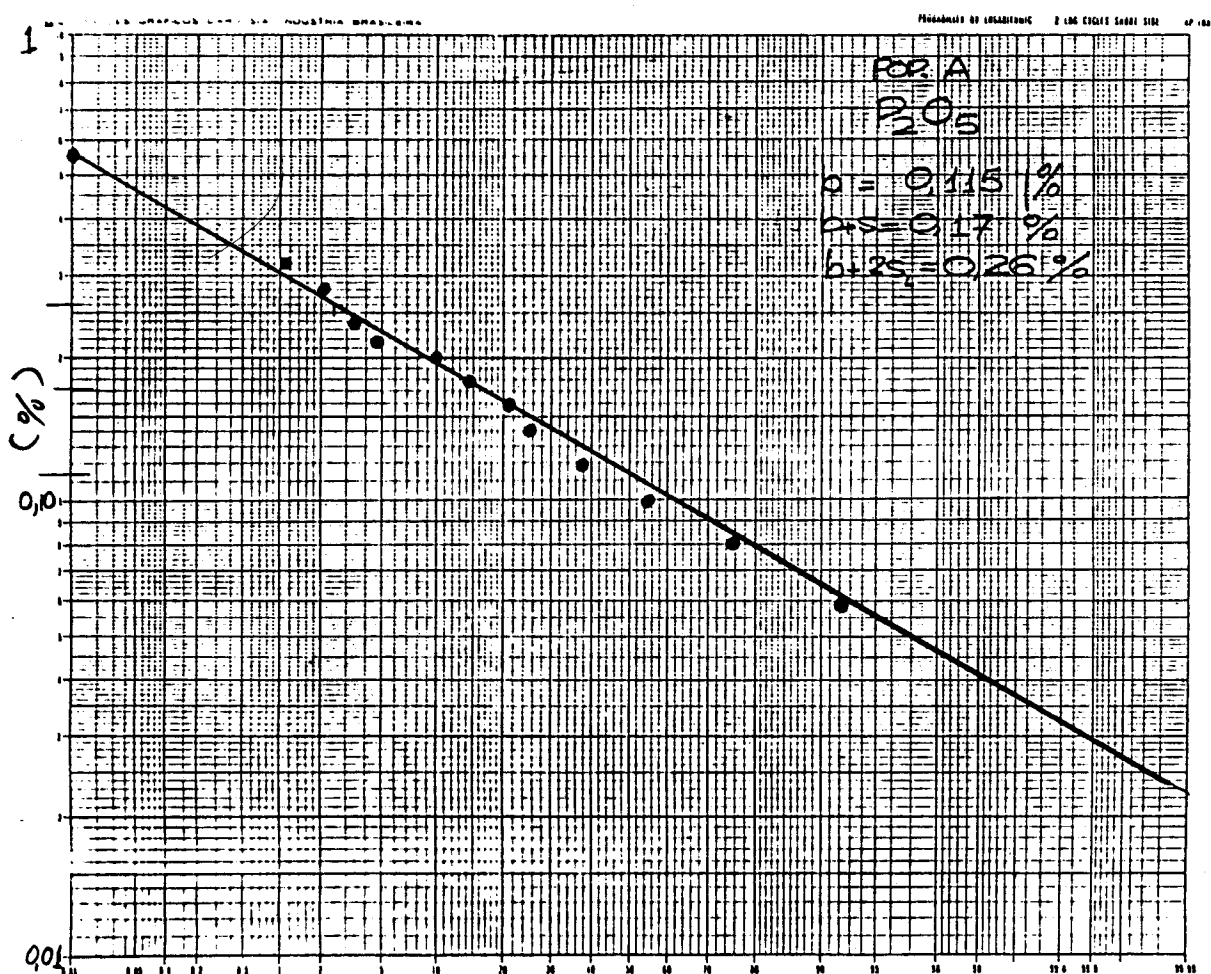


Fig. 3.15 - Distribuição lognormal unimodal de P<sub>2</sub>O<sub>5</sub>.  
População (A).

classificadas na população A (rochas graníticas) Cu,Ni,Co,As, Fe,Ti e  $P_2O_5$  apresentam distribuições lognormais unimodais Pb,Zn,Mn,Ba,Sr,Nb e F distribuições lognormais bimodais e La distribuição lognormal censurada na região dos teores mais elevados (Figs. 3.1. a 3.15). O Mo devido à grande maioria dos dados estarem abaixo do limite de sensibilidade do método ( 5 ppm ), não foi considerado.

Embora tenham sido criteriosamente divididos nas populações (A, B e C) de acordo com o tipo litológico predominante, o comportamento bimodal das distribuições de Pb, Zn,Ba,Sr,Nb e F, provavelmente esteja relacionada a presença, em zonas de fraqueza do embasamento granítico, de pequenas manifestações alcalino carbonatitos. Essas indicações podem ser o resultado da presença (nos sedimentos de corrente) de fases minerais constituintes da assembléia mineralógica desses corpos:- magnetitas (Pb e Zn) minerais de terras raras (Ba, Sr e La) (Bloomfield et alii, 1970).

Os resultados geoquímicos obtidos são agrupados e apresentam em:- a) Grupo I, os dados provenientes dos sedimentos de corrente e b) Grupo II aqueles obtidos dos concentrados de bateia.

### 3.2.1. GRUPO I

Zona 1 A - Cu,Pb,Zn,Ni,Fe,Mn,As,Ba,Sr,Nb,Ti,  
La,Mo,F e  $P_2O_5$

Extensa zona situada na margem esquerda do Rio Ribeira nas proximidades das Minas Maringá.

Litologicamente está relacionada a um corpo carbonatítico colocado em rochas graníticas, enquanto a sua porção norte recobre exclusivamente rochas graníticas.

Do ponto de vista geoquímico é caracterizada por onze amostras (JS-495/521/510/517/518/519/520/528/522/524/526) anômalas para:-

JS-522 - Teores anômalos para Cu (48 ppm), Pb (150 ppm), Zn (300 ppm), Ni (28 ppm), Mn (2400 ppm), Ba (4.000 ppm) Nb (460 ppm), Ti (10.000 ppm), La (980 ppm), Mo (41 ppm) e F (1.500 ppm) - Cu,Pb,Zn,Ni,Co,Mn,Ba,Nb,Ti, La, Mo e F.

**JS-524** - Teores anômalos para Pb (740 ppm), Zn (1.300 ppm) Ni (27 ppm), Co (30 ppm), Fe (8,7%), Mn (6.700 ppm), As (9 ppm), Ba (6.200 ppm), Nb (1.120 ppm), Ti (... 10.000 ppm), La (3.000 ppm), Mo (76 ppm), Sr (3.100 ppm), F (7.000 ppm) e  $P_2O_5$  (0,73%) - Pb, Zn, Ni, Co, Fe, Mn, As, Ba, Nb, Ti, La, Mo, Sr, F e  $P_2O_5$ .

**JS-526** - Teores anômalos para Pb (330 ppm), Zn (630 ppm), Ni (30 ppm), Co (29 ppm), Mn (6.300 ppm), Ba (6.200 ppm), Nb (540 ppm), La (1.080 ppm), Mo (47 ppm), Sr (2.060 ppm), F (3.250 ppm) e  $P_2O_5$  (0,55%) - Pb, Zn, Ni, Cu, Mn, Ba, Nb, La, Mo, Sr, F e  $P_2O_5$ .

**JS-510** - Teores anômalos para Ba (3.650 ppm), Nb (410 ppm), Ti (10.000 ppm), e  $P_2O_5$  (0,28%) - Ba, Nb, Ti, e  $P_2O_5$ .

**JS-517** - Teores anômalos para Pb (64 ppm), Nb (290 ppm), Ti (10.000 ppm) e F (1400 ppm) - Pb, Nb, Ti e F.

**JS-518** - Teores anômalos para Pb (100 ppm), Nb (172 ppm), e F (1350 ppm) - Pb, Nb e F.

**JS-519** - Teores anômalos para Pb (48 ppm), Nb (700 ppm) e Ti (10.000 ppm) - Pb, Nb e Ti.

**JS-520** - Teores anômalos para Pb (42 ppm), Mn (2.400 ppm) e As (9 ppm) - Pb, Mn e As.

**JS-528** Teores anômalos para F (1000 ppm) - F.

**JS-495** - Teores anômalos para Pb (46 ppm), Co (34 ppm) e Fe (11,0%) - Pb, Co e Fe.

**JS-521** - Teor anômalo para Nb (360 ppm) - Nb.

O Grupo das três primeiras amostras (JS-524/526/528) revela uma ampla associação geoquímica constituída, principalmente, por elementos indicadores de rochas alcalino-carbonáticas- Ba, Sr, La, Ti, Nb, F, Mo e  $P_2O_5$ . Essa subzona delinea muito bem o corpo carbonatítico mapeado, e, os altos teores de Cu,

Pb, Zn, Nb, La e F definidos pelos seus contrastes geoquímicos em relação ao limiar (média (b) + duas vezes o desvio-padrão (S) obtidos graficamente) 3,3 x; 9,4 x; 5,8 x; 7,0 x; 25,0 x; e 9,7 x, respectivamente, devem indicar concentrações minerais importantes desses elementos.

O Grupo de amostras situado na porção norte dessa zona define uma associação geoquímica menos expressiva do que a primeira, embora mantenha ainda o mesmo caráter de filiação alcalino-carbonatítico (Ba, Nb, Ti, F,  $P_2O_5$ , Pb, Fe, Mn e As). A importância desse fato cresce na medida em que ampliam as chances de prolongamento para norte do corpo carbonatítico aflo-rante na porção sul. Prioridade A.

#### ZONA 2 C - Co, Mn, Ti, Mo e F

A zona 2 situa-se no extremo norte da área amostrada e é representada por quatro amostras FB/503/505/515/516.

**FB-503** - Valores anômalos para Co (49 ppm) e F (16,2%) -Co, F.

**FB-505** - Valores anômalos para F (900 ppm).

**FB-515** - Valor anômalo para Ti (10.000 ppm).

**FB-516** - Valor anômalo para Co (38 ppm).

Essa zona está localizada sobre rochas graníticas e, com exceção de pequenos corpos de diques de diabásio, não são registradas quaisquer evidências de manifestações carbonatíticas. Prioridade C.

#### ZONA 3 C - La

Pequena zona situada na margem direita do Rio Itapirapuã. Caracteriza-se por uma única amostra (JS-525) anômala para La (240 ppm) localizada sobre rochas graníticas próximo da intercessão de duas pequenas falhas. Prioridade C.

#### ZONA 4 C - Ti

A amostra JS-550 define uma pequena zona situa-

da a sul da zona anterior. Essa amostra localiza-se sobre rochas metassedimentares e é anômala para Ti (10.000 ppm). Prioridade C.

#### ZONA 5 C - Cu, Ti

Localiza-se na margem direita do Rio Ribeira sobre rochas graníticas. Caracteriza-se por duas amostras JS-542 e 543) anômalas para:-

JS-542 - Teor anômalo para Cu (42 ppm).

JS-543 - Teor anômalo para Ti (10.000 ppm). Prioridade C.

#### ZONA 6 C - Co, F

Pequena zona localizada a sul da zona anterior e constituída pela amostra JS-546 anômala para F (1100 ppm) e Co (28 ppm).

Litologicamente está relacionada a rochas graníticas. Prioridade C.

#### ZONA 7 A - Pb, Ni, Sr, Nb, Ti, F, P<sub>2</sub>O<sub>5</sub>

A zona 7 possue forma alongada na direção NW-SE e está localizada na margem direita do Rio Ribeira.

Litologicamente engloba rochas graníticas que, na sua porção norte, acham-se seccionadas por uma brecha carbonatítica com dimensões aproximadas de 1,0 x 2,0 km.

Do ponto de vista geoquímico é composta por quatro amostras (JS-462/464/456/458) anômalas para:-

**JS-462** - Co (27 ppm), Nb (204 ppm), Ti (10.000 ppm), Sr (1.300 ppm), F (1.000 ppm) e P<sub>2</sub>O<sub>5</sub> (0,32%) - Co, Ti, Sr, F e P<sub>2</sub>O<sub>5</sub>.

**JS-464** - Pb (50 ppm), Ni (35 ppm), Co (27 ppm) Nb (250 ppm) e Ti (10.000 ppm) - Pb, Ni, Co, Nb e Ti.

**JS-456** - F (1.300 ppm).

**JS-458** - Co (24 ppm) e F (1.000 ppm) - Co, F

As duas primeiras amostras apresentam uma associação geoquímica característica das rochas alcalino-carbo-

natíticas. Isto é corroborado pela presença de uma expressiva massa carbonatítica, brechada, com amplas possibilidades de se estender, descontinuamente, na direção nordeste. Prioridade A.

#### ZONA 8 A - Ti, Nb e La

Localiza-se a nordeste da Zona 7, ainda na margem direita do Rio Ribeira..

Constitui-se de uma única amostra (JS-467) anômala para Nb (88 ppm) Ti (10.000 ppm) e La (130 ppm).

Considerando a sua localização sobre uma ampla zona de fraqueza (falhas) no assolho granítico e a sua associação geoquímica (Ti, Nb e La), típica de rochas carbonáticas, atribui-se-lhe prioridade A.

#### ZONA 9 C e 10 C - Ti

Essas zonas são de pequena expressão e estão localizadas na porção nordeste da área trabalhada, margem esquerda do Rio Ribeira.

São constituídas por duas amostras (JS-484 e JS-482) anômalas para Ti (10.000 ppm), respectivamente. Priorida de C.

#### ZONA 11 B - Ba

A zona 11 é representada pela amostra JS-475 a nômala para Ba (3.100 ppm). Localiza-se nas proximidades do Arroio Seco, margem direita do Rio Ribeira, sobre rochas graníticas em contato por falha com os metassedimentos. Priorida de B.

#### ZONA 12 A - Cu, Ni, Co, As, Mn

Duas amostras JS-453 e 454, situadas sobre as rochas metassedimentares do Grupo Açungui, caracterizam a zona 12.

**JS-453** - Teores anômalos para Cu (46 ppm), Ni (40 ppm), Co

(43 ppm) e As (16 ppm) - Cu,Ni,Co,As, Mn.

**JS-454** - Teores anômalos para Ni (29 ppm) Co (29 ppm), Mn (2500 ppm) e As (19 ppm) - Ni,Co, Mn e As.

A proximidade dessa zona a algumas ocorrências de sulfetos e ouro conhecidas aumenta a sua importância. Prioridade A.

#### ZONA 13 A - Cu, Pb, Zn,Ni,Co,Mn,As, Fe e Ti

Localiza-se no extremo sudeste da área amostrada, sobre as rochas metassedimentares.

Três amostras JS-452, 430 e 440 mostram-se anômalas para:-

**JS-452** - Cu (390 ppm), Pb (1200 ppm), Zn (800 ppm), Ni (35 ppm), Co (46 ppm), Mn (4200 ppm) e As (143 ppm) - Cu,Pb,Zn, Ni,Co,Mn e As.

**JS-439** - Ni (39 ppm), Co (41 ppm), Mn (5.400 ppm), As (9 ppm) e F (1.100 ppm) - Ni,Co,Mn,As e F.

**JS-440** - Cu (69 ppm), Pb (45 ppm), Zn (140 ppm), Ni (45 ppm), Co (64 ppm), Mn (6.800 ppm), As (21 ppm), Ti (10.000 ppm) e F (1.250 ppm) - Cu,Pb,Zn,Ni,Co,Mn,Ti e F.

Considerando-se os altos contrastes, principalmente dos metais base, e a proximidade dessa zona a áreas com ocorrências de sulfetos e ouro atribui-se-lhe prioridade A.

#### 3.2.2. GRUPO II

As anomalias das amostras de concentrado de batela indicaram somente três amostras anômalas que foram agrupadas em duas zonas:-

##### ZONA 1 - Pb e Au

Localiza-se no quadrante noroeste da área, nas proximidades das Minas Maringá.

Caracterizam-se pelas amostras JS-560, anômala

para chumbo (92 ppm) e JS-565 anômala para ouro (0,44 ppm). As bacias de captação dessas amostras coincidem com as da zona 1 de sedimento de corrente e por esse motivo a sua importância torna-se aumentada.

### ZONA 2 - Cu e Zn

A amostra JS-556 representa essa zona que encontra-se localizada ao sul da área, na margem direita do Rio Ribeira.

Essa amostra revela-se anômala para Cu (180ppm) e Zn (115 ppm).

Os baixos valores absolutos desses metais e a geologia ou mesmo geoquímica recomendam baixa prioridade a essa zona.

### IV - CONCLUSÕES E RECOMENDAÇÕES

A análise dos dados obtidos nesse trabalho permite destacar as seguintes conclusões:-

- a. A metodologia (técnicas de amostragem, de análise e de interpretação) sugerida nos estudos orientativos' (Ramos, 1981) e aqui empregada, mostrou-se adequada , sobretudo as técnicas analíticas onde as amostras pesadas na fração granulométrica malha menor do que 40 maior do que 80 (-40/+80 mesh) dosada para Nb,Ba, Sr, Mo,F, P<sub>2</sub>O<sub>5</sub>, Cu Pb, Zn delinearam muito bem os corpos carbonatíticos mapeados.
- b. O pequeno número de amostras controle estabelecido ' nesse trabalho prejudicou a melhor avaliação dos efeitos da variância analítica e/ou de amostragem. Entretanto, com a simples observação visual conclui-se que não houve variações importantes que prejudiquem' a qualidade das informações geoquímicas.
- c. Foram definidas 13 zonas anômalas oriundas dos dados dos sedimentos de corrente, entre os quais, 5 foram

classificadas de prioridade (A) e 8 de última prioridade (C). Dos concentrados de bateia somente duas zonas foram definidas.

- d. As zonas classificadas como de prioridade A refletem diretamente (zonas 1 e 7) e indiretamente (zona 8) corpos carbonatíticos, além de indicarem possibilidade de concentrações de sulfeto de cobre (zona 12) chumbo e zinco (zona 13) e ouro (zonas 12 e 13 ).
- e. As zonas mais importantes devem ser motivo de uma criteriosa (detalhada) verificação de campo na qual deverá constar:-
  1. Caminhamento geológico ao longo do curso d'água considerado anômalo, bem como nas vertentes de suas bacias de captação.
  2. Reamostragem e complementação da amostragem com amostras igualmente espaçadas com objetivo de identificar-se possíveis variações anômalas locais.
- f. Estabelecida a consistência das anomalias, planejar e executar (exceto as zonas 1 e 7) amostragem de solo ao longo da meia encosta da bacia de captação das drenagens anômalas (levantamento de detalhe - fase exploratória).
- g. Amostragem de solo em malhas de 50 x 50 metros zonas 1 e 7 e sobre os demais alvos indicados após a fase exploratória ítem (f).
- i. Análise para Cu,Pb,Zn por espectrofotometria de absorção atômica após abertura com águia régia 3:1, a quente; Mo após ataque com ácido fluorídrico (Hf);Y, Yb, La, Nb, Sr e Ba por espectrografia ótica; F por eletrodo específico e P<sub>2</sub>O<sub>5</sub> por fluorescência de Raio-X nas amostras de solos peneiradas na fração malha menor do que 80 (-80 mesh).

**V - REFERÊNCIAS BIBLIOGRÁFICAS**

1. BLOOMFIELD, J.H. et alii (1970) - Geochemical Exploration of Carbonatite Complexes in Eastern Uganda. CIM Special Volume nº 11 pg. 85-101
2. DA SILVA, D.C. (1980) - Geologia Preliminar da Região da Barra do Itapirapuã. Mineropar. Relatório Ostensivo.
3. RAMOS, M.M. (1981) - Estudos Geoquímicos Orientativos na Área de Mato Preto - PR - Mineropar. Relatório Ostensivo.

**A N E X O S**

**RESULTADOS ANALÍTICOS DOS SEDIMENTOS  
DE CORRENTE E CONCENTRADOS DE BATEIA**

INSTITUTO DE TECNOLOGIA DO PARANÁ



MINEROPAR - RESULTADOS ANALÍTICOS

PROJETO/SETOR *Alcalinias ISA70*

MATERIAL *Sedimento de corrente*

LOTE 057

GRANULOMETRIA - 40

ABERTURA A. Regia

MÉTODO AA

*Área - Itapuruápa*

CAG-032

Data	Entrada	Prep.	Abertura	Dosagem	Saída	
------	---------	-------	----------	---------	-------	--

ELEMENTOS - CONC: /ppm

Nº CAMPO	Nº LAB.	Cu	Pb	Zn	Ni	Co	Fe	Mn	
JS- 439	C-915	26	42	70	32	41	320	1500	
440	C-916	69	45	140	45	64	10000	600	
441	C-917	5	12	35	10	10	2500	250	
442	C-918	11	14	35	13	15	15500	1000	
443	C-919	7	8	25	12	12	11300	430	
444	C-921	2	10	41	12	16	32000	140	
445	C-922	1	7	23	8	10	10500	250	
446	C-923	2	8	38	12	11	13500	140	
447	C-924	1	8	15	7	9	8500	110	
448	C-925	2	5	10	5	8	10000	130	
449	C-926	3	9	20	7	9	13000	410	
450	C-927	3	8	23	8	10	16700	230	
-L	C-928	5	8	20	8	7	12000	190	
452	C-929	380	12000	800	35	46	30000	4200	
453	C-931	46	32	88	40	13	50000	3500	
454	C-932	29	36	63	29	29	43700	2900	
455	C-933	4	13	25	12	12	24000	300	
456	C-934	9	15	66	20	22	37000	770	
457	C-935	9	9	41	10	13	18600	1600	
458	C-936	19	16	75	25	24	31000	1020	
459	C-937	7	12	40	21	19	19900	680	
460	C-938	4	8	34	22	10	26900	310	
-D	C-939	4	7	30	21	16	19000	320	
JS- 462	C-941	5	18	78	24	27	35000	180	



INSTITUTO DE TECNOLOGIA DO PARANÁ

## MINEROPAR - RESULTADOS ANALITICOS

PROJETO/SETOR Alcalinas / SATO

## MATERIAL Sedimento de corrente

LOTE 057

GRANULOMETRIA - 40

**ABERTURA A Regia**

MÉTODO *AA*

## Area - Major areas

CAG-032



## INSTITUTO DE TECNOLOGIA DO PARANÁ

MINEROPAR - RESULTADOS ANALÍTICOS

PROJETO/SETOR Alcalinas / SATO

MATERIAL Sedimento de concreto

LOTE 057

GRANULOMETRIA - 40

ABERTURA A.Ref jia

MÉTODO AA.

AREP - ITAPIRA DUA

CAG - 032

Data	Entrada	Prep.	Abertura	Dosagem	Saída
ELEMENTOS - CONC: ppm					
NP CAMPO	NP LAB.	Cu	Pb	Zn	Ni
JS - 479	C - 959	6	10	25	9
	480	C - 961	7	17	15
	481	C - 962	12	15	35
	482	C - 963	9	10	20
	483	C - 964	3	8	10
	484	C - 965	10	15	20
	485	C - 966	4	11	35
	486	C - 967	7	14	20
	487	C - 968	10	16	40
	488	C - 969	4	11	15
	489	C - 971	3	10	25
	490	C - 972	6	9	30
R	491	C - 973	6	10	20
	492	C - 974	5	9	20
	494	C - 975	4	25	28
	495	C - 976	5	16	40
	498	C - 979	3	10	20
	499	C - 981	4	12	25
	500	C - 982	2	12	30
Dup	501	C - 983	3	11	28
	502	C - 984	15	10	26
	503	C - 985	5	10	20
	504	C - 986	9	11	42
JS - 505	C - 987	25	11	55	20
					19
					41200
					180

INSTITUTO DE TECNOLOGIA DO PARANÁ

MINEROPAR - RESULTADOS ANALÍTICOS



PROJETO/SETOR Alcaluas / SATO

MATERIAL Sedimento de corrente

LOTE 057

GRANULOMETRIA -40

ABERTURA A. Regia

MÉTODO AA

AREA - Itapicuruíia

CAG - 032

Data	Entrada	Prep.	Abertura	Dosagem	Saida
ELEMENTOS - CONC: ppm					
Nº CAMPO	Nº LAB.	Cu	Pb	Zn	Ni
JS-519	J-003	3	48	56	12
	J-004	5	42	60	10
	J-005	4	35	55	11
	J-006	18	150	300	28
	J-007	20	150	460	23
	J-008	10	440	1300	24
	J-009	7	38	65	17
	J-011	11	330	630	30
	J-012	8	38	50	13
	J-013	10	22	80	19
	J-014	7	12	20	10
	J-015	10	9	40	16
R	J-016	12	10	40	18
	J-017	10	12	38	20
	J-018	11	20	35	14
	J-019	3	5	20	11
	J-021	5	14	40	15
	J-022	12	10	25	13
	J-023	9	9	40	15
	J-024	7	9	40	17
	J-025	5	6	25	11
	J-026	11	10	35	14
D	J-027	5	9	40	14
	J-028	12	14	65	23



**MINEROPA**  
Minerais do Pará S/n  
**BIBLIOTECA**

INSTITUTO DE TECNOLOGIA DO PARANÁ

## MINEROPAR - RESULTADOS ANALITICOS

PROJETO/SETOR Alcalinor ISATO

## MATERIAL Sedimento de corrente

GRANULOMETRIA - 40

ABERTURA A. Regia

LOTE 057

AREA - Sta pirapuã

8

MÉTODO A.A

CAG-03



INSTITUTO DE TECNOLOGIA DO PARANÁ

## MINEROPAR - RESULTADOS ANALITICOS

PROJETO/SETOR Alcalinas / SATO

MATERIAL Sedimento de corrente

GRANULOMETRIA - 40

ABERTURA A. Regia

LOTE 057

MÉTODO AA

CAG - 032

## AREA - Stapurāpuā



INSTITUTO DE TECNOLOGIA DO PARANÁ

## MINEROPAR - RESULTADOS ANALITICOS

PROJETO/SETOR Alcalina / SATO

**MATERIAL Concentrado de batata**

## GRANULOMETRIA - 200

ABERTURA A. Regis

LOTE 057

MÉTODO AA



**GEOOSOL** - GEOLOGIA E SONDAGENS LTDA.

DIVISÃO DE LABORATÓRIOS - GEOLAB

Cliente : MINERPAR - Minerais do Paraná S.A. - Setor: Granitos - Área: Barra do Itapirapuã

Pedido : Determinação de As - Geração de Vapôr , F - "Ion Específico", na fração < 40 mesh. (N/Ref.: 6930017)

**BOLETIM DE ANÁLISE**

(S/Ref.: SATO MABIO 53 Lote 69/81)

Nº 39.561/562/563

ANÔSTRAS nº's	As ppm	F ppm	ANÔSTRAS nº's	As ppm	F ppm	ANÔSTRAS nº's	As ppm	F ppm
JS - 430	2	11.00	JS - 464	2	700	JS - 439	0,5	525
440	21	12.20	465	2	650	490	0,5	475
441	2	590	466	<0,5	240	491	<0,5	500
442	4	550	467	<0,5	475	492	<0,5	475
443	<0,5	275	468	<0,5	500	494	<0,5	425
444	1	475	469	<0,5	1350	495	1	400
445	<0,5	375	470	2	600	498	0,5	375
446	1	450	471	1	275	499	<0,5	425
447	<0,5	390	472	2	450	500	<0,5	450
448	2	190	473	1	275	501	<0,5	425
449	2	225	474	<0,5	500	502	<0,5	325
450	3	375	475	1	750	503	<0,5	350
451	3	450	476	0,5	1050	504	1	650
452	14,3	650	477	0,5	600	505	<0,5	300
453	16	650	478	<0,5	450	506	<0,5	400
454	19	600	479	<0,5	435	507	1	300
455	1	400	480	0,5	335	508	1	250
456	0,5	1300	481	5	550	509	<0,5	200
457	2	350	482	<0,5	375	510	1	400
458	2	1000	483	<0,5	165	511	<0,5	200
459	0,5	700	484	2	275	512	0,5	400
460	<0,5	500	485	<0,5	450	513	0,5	325
461	<0,5	525	486	0,5	475	514	0,5	300
462	5	1000	487	2	600	515	1	250
JS - 463	<0,5	600	JS - 488	2	250	516	2	300

Belo Horizonte, 15 de Junho de 1.981.

Marcos Fonseca Cavalcanti

CRO/HN 020078

**GEOBOL - GEOLOGIA E SONDAGENS LTDA.**

DIVISÃO DE LABORATÓRIOS - GECOLAB

Cliente: MINEROPAR - Minerais do Paraná S.A. - Setor Granitos

Pedido : Determinação de As, Geração de vapor, P<sub>2</sub>O<sub>5</sub> por fluorescência de RX, na fração < 40 mesh.

Área : Larra do Itapirapua



(S/Ref.: SATO MENDO 053 - LOTE 069/81)

Nº 38.561/562/563 A

**BOLETIM DE ANÁLISE**

AMOSTRAS	As	P <sub>2</sub> O <sub>5</sub>	AMOSTRAS		As	P <sub>2</sub> O <sub>5</sub>	AMOSTRAS	
			nºs	ppm			nºs	ppm
JS - 439	9	0,09	JS -	464	2	0,22	JS -	489
440	21	0,09	465	2	0,16	490	0,5	0,11
441	2	0,07	466	<0,5	0,08	491	<0,5	0,12
442	4	0,06	467	<0,5	0,11	492	<0,5	0,15
443	<0,5	<0,05	468	<0,5	0,10	494	<0,5	0,08
444	1	0,08	469	<0,5	0,19	495	1	0,10
445	<0,5	0,11	470	2	0,12	498	0,5	0,11
446	1	0,10	471	1	0,11	499	<0,5	0,09
447	<0,5	0,08	472	2	0,09	500	<0,5	0,13
448	2	0,06	473	1	0,13	501	<0,5	0,13
449	2	0,05	474	<0,5	0,10	502	<0,5	0,12
450	3	0,09	475	1	0,13	503	<0,5	0,12
451	3	0,07	476	0,5	0,11	504	1	0,18
452	143	0,15	477	0,5	0,12	505	<0,5	0,21
453	16	0,10	478	<0,5	0,13	506	<0,5	0,07
454	19	0,08	479	<0,5	0,11	507	1	0,14
455	1	0,09	480	0,5	0,08	508	1	0,17
456	0,5	0,12	481	5	0,10	509	<0,5	0,08
457	2	0,18	482	<0,5	0,13	510	1	0,28
458	2	0,22	483	<0,5	0,05	511	<0,5	0,10
459	0,5	0,12	484	2	0,12	512	0,5	0,08
460	<0,5	0,10	485	<0,5	0,13	513	0,5	0,10
461	<0,5	0,09	486	0,5	0,11	514	0,5	0,11
462	5	0,32	487	2	0,18	515	1	0,14
JS - 463	<0,5	0,11	JS - 488	2	0,08	JS - 516	2	0,14

Belo Horizonte, 10 de junho de 1981.

*Adriano C. Lira  
Lara da Oliveira Lima • Silveira*

Laboratório em Belo Horizonte, MG - Rua Amora, 200 - Fone 21-5566  
Telex 031-176 - Registrado no CPC sob o nº 2006

ANALISES GEOQUÍMICAS E ANALISES DE MINERAIS POR ESPECTROGRAFIA ÓTICA.  
BAINS Y F. VIAL UNIMADA

CRC.





GEOSOL

GEOLOGIA E SONDAZENS LTDA.

DIVISÃO DE LABORATÓRIO - GEOLAB

## BOLETIM DE ANÁLISE

N.º 38.554/555 A

CLIENTE: MINEROPAR - Minerais do Paraná S.A. - Setor Granitos (N/Ref.: 69/0017)  
 (S/Ref.: SATO MFM 053 - LOTE 069/81)  
 PEDIDO: Determinação de As, Geração de vapor, P<sub>2</sub>O<sub>5</sub>, por fluorescência de Rx, na fração  
 < 40 mesh.  
 Área Barra do Itapirapuã

AMOSTRAS	As	P <sub>2</sub> O <sub>5</sub>	AMOSTRAS	As	P <sub>2</sub> O <sub>5</sub>
nºs	ppm	%	nºs	ppm	%
JS - 517	2	0,16	JS - 542	2	0,18
518	2	0,24	543	<0,5	0,08
519	4	0,13	544	<0,5	0,09
520	9	0,19	545	2	0,11
521	1	0,15	546	1	0,15
522	4	0,21	547	3	0,20
523	3	0,42	549	<0,5	0,07
524	9	0,73	550	2	0,09
525	3	0,13	551	1	0,11
526	6	0,55	552	1	0,05
527	2	0,10	553	<0,5	0,08
528	2	0,22	JS - 566	3	0,06
529	<0,5	0,05			
530	<0,5	0,19			
531	<0,5	0,20			
532	<0,5	0,08			
533	3	0,07			
534	<0,5	0,05			
535	2	0,10			
536	3	0,17			
537	0,5	0,13			
538	0,5	0,09			
539	2	0,08			
540	0,5	0,09			
JS - 541	<0,5	0,09			

Belo Horizonte, 10 de junho de 1981.

*Daisy Léa de Oliveira Lima e Silva*  
 ORQ N.º 2-00246

Mod. 145/90

CRC.

ANALISES GEOQUÍMICAS E ANALISES DE MINÉRIOS POR ESPECTROGRAFIA ÓTICA  
 ABSORÇÃO ATÔMICA, FLUORESCÊNCIA DE RAIOS-X E VIA UMIDA.

Laboratório em Belo Horizonte, MG - Rua Almorés, 200 - Telefone 221-5566 - Telex 031-1786 - Reg. no CRQ-II sob o n.º 2036



GEOSOL

GEOLOGIA E SONDAZENS LTDA.

DIVISÃO DE LABORATÓRIO - GEOLAB

## BOLETIM DE ANÁLISE

N.º 38.564/565 B

CLÍENTE : MINEROPAR - Minerais do Paraná S.A. - Setor Granitos - Área : Barra do Itapirapuã . (S/Ref.: SATO MEMO 53 Lote 69/81)

PEDIDO : Determinação de As - Geração de Vapor, F - "Ion Específico", na fração <40 mesh . (N/Ref.: 67/0017)

AMOSTRAS nºs	As ppm	F ppm	AMOSTRAS nºs	As ppm	F ppm
JS - 517	2	1400	JS - 542	2	800
518	2	1350	543	<0,5	400
519	4	300	544	<0,5	300
520	9	375	545	2	500
521	1	250	546	1	1100
522	4	1500	547	3	400
523	3	1600	549	<0,5	425
524	9	7000	550	2	350
525	3	550	551	1	250
526	6	3250	552	1	400
527	2	725	553	<0,5	250
528	2	1000	JS 566	3	300
529	<0,5	400			
530	<0,5	550			
531	<0,5	650			
532	<0,5	650			
533	3	600			
534	<0,5	250			
535	2	450			
536	3	425			
537	0,5	600			
538	0,5	400			
539	2	350			
540	0,5	375			
JS - 541	<0,5	400			

Belo Horizonte, 15 de junho de 1.981.

Marcelo Fonseca Carvalho  
CRQ-II N.º 680027

Mod. 155/80

wcv/

ANALISES GEOQUÍMICAS E ANALISES DE MINÉRIOS POR ESPECTROGRAFIA ÓTICA  
ABSORÇÃO ATÔMICA, FLUORESCÊNCIA DE RAIOS-X E VIA ÚMIDA.

Laboratório em Belo Horizonte, MG - Rua Almirés, 200 - Telefone 221-5566 - Telex 031-1786 - Reg. no CRQ-II sob o n.º 2036



GEOSOL - GEOLOGIA E SONDAZENS LTDA.

DIVISÃO DE LABORATÓRIO - GEOLAB

## BOLETIM DE ANÁLISE

N.º 38.565

CLIENTE: MINEROPAR - Minerais do Paraná S.A. (S/Ref.: SATO MEMO 053 - LOTE 069/81)  
Setor Granitos (N/Ref.: 69/0017)

PEDIDO: Determinação de Ba,Nb,Ti,La,Nb,Sr. - Espectrografia ótica - na fração < 40 mesh.  
Área Barra do Itapirapuã

AMOSTRAS nºs	Ba	Nb	Ti	La	Nb	Sr
	ppm	ppm	ppm	ppm	ppm	ppm
JS - 542	2240	24	8200	62	<5	660
543	1720	41	>10000	148	<5	480
544	1300	27	6000	70	<5	520
545	1470	<20	5400	<30	<5	360
546	1300	<20	4640	92	<5	520
547	1180	<20	7100	48	<5	490
549	840	<20	8400	55	<5	200
550	790	<20	>10000	<30	<5	200
551	1600	<20	5700	<30	<5	480
552	1400	<20	2600	<30	<5	500
553	1880	38	3040	<30	<5	760
JS - 566	1160	23	3600	<30	<5	330

Belo Horizonte, 10 de junho de 1981.

Daisy Léa de Oliveira Lima e Silva  
CRQ N.º 2-00246

CRC.

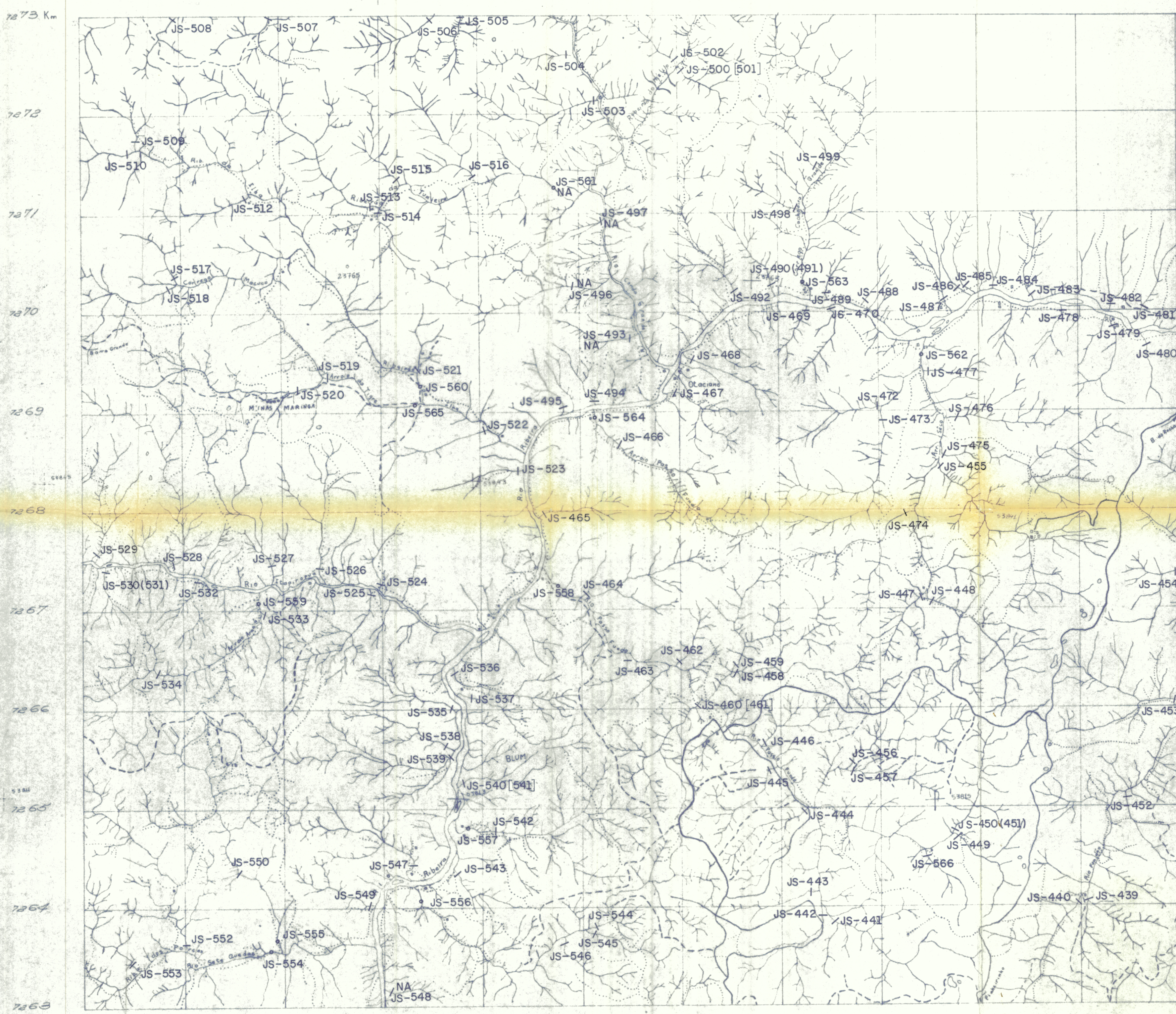
Mod. 145/80

ANÁLISES GEOQUÍMICAS E ANÁLISES DE MINÉRIOS POR ESPECTROGRAFIA ÓTICA.  
ABSORÇÃO ATÔMICA, FLUORESCÊNCIA DE RAIOS-X E VIA ÚMIDA.

Laboratório em Belo Horizonte, MG - Rua Almirés, 200 - Telefone 221-5566 - Telex 031-1786 - Reg. no CRQ-II sob o n.º 2036

# Mapa Base da Região da Barra do Itapirapuã

## Setor de Rochas Alcalinas



### Convenções:

- rede de drenagem
- dolinas
- trilhas
- caminhos
- estradas
- moradias
- || coord. quilométricas
- + c. de aerofotografia
- ↖ Ponto de Amostragem de Sedimento de Corrente
- ↗ Ponto de Amostragem de Concentrado de Batela
- [303] Amostra Replicata
- (303) Amostra Duplicata

Carto geográfica elaborado a partir de aerofotos em escala 1:25.000 do ITC, em parte obtidas em 1980 e, em parte obtidas em 1952.

A marcação de coordenadas é baseada na folha 5622XB/P-2 do Ministério do Exército (Folha Ribeira).

Montagem e elaboração feitas por Nelson G. de Albuquerque Filho, a serviço da Mineropar S.A. (S.A.T.O.) Curitiba, 26 de Janeiro de 1981.

Escala - 1:25000

0 500 1000 1500m

S.A.T.O.	MINEROPAR	ANEXO
Minerais do Paraná S.A.		
PROSPEÇÃO GEOQUÍMICA DE SEMI DETALHE NA REGIÃO DA BARRA DO ITAPIRAPUÃ		ÁREA N°
AUTOR: MAURÍCIO M. RAMOS	DESENHO: DEZ/81	